CORRELAÇÃO ENTRE AS PROPRIEDADES MAGNÉTICAS

E A FOTOLUMINESCÊNCIA DO VIDRO MAGNÉTICO

(vidro aluminosilicato com alto conteudo de MnO)

Evaristo Nunes Filho

Banca examinadora

Prof Dr Carlos Alfredo Arguello (orientador)

Prof Dr Nicolao Januzzi

Prof Dr Vijayendra Kumar Garg

Prof Dr Paulo Motisuke

Prof Dr Reva Garg

Tese apresentada ao Instituto de Física Gleb Wataghin da Universidade Estadual de Campinas, como parte dos requisitos para obtenção do título de Mestre em Física.

Ao Professor Carlos Alfredo Arguello pela persistente orientação.

A Miriam pela leitura do manuscrito, pelo trabalho datilográfico e pela paciência.

Ao Paulo Motisuke pelas discussões.

À Selma pelos desenhos.

Aos colegas da UFES-Vitória pela compreensão.

À todos que de alguma forma estão envolvidos neste trabalho,

Meus agradecimentos.

Trabalho realizado no Instituto de Física GLEB WATAGHIN da UNIVERSIDADE ESTADUAL DE CAMPINAS.

Suportado financeiramente pela FAPESP

A Evaristo, Amenaide e Wagner.

#### Resumo

Nêste trabalho, realizamos o estudo da luminescência do ion Mn<sup>2+</sup> no vidro Al<sub>2</sub>O<sub>3</sub>, MnO, SiO<sub>2</sub>, nas regiões de temperatura onde ocor re ordenamento magnético de curto e longo alcance (~30 K e 3 K res pectivamente).

Verificamos a estas temperaturas dois shifts em energia do maximo da banda de luminescência (~125 cm<sup>-1</sup> a 30 K e 225 cm<sup>-1</sup> a 3 K), o segundo acompanhado de uma abrupta elevação da intensidade do es pectro de luminescência.

Na interpretação dos resultados é utilizado o modêlo de - Neel para particulas finas antiferromagnéticas, assim como os dados de de Graaf. nesta amostra.

Os resultados são interpretados com auxílio desta teoria e um modêlo é elaborado para explicar os shifts.

Argumentos de simetria explicam o aumento na intensidade como devido a quebra das regras de seleção, provocada pela contração anisotrópica a ~3 K.

# Introdução

Capitulo I	Luminescência e Espectro de Absorção pã	ginas
	I - a) centros de fluorescência	01
	b) constituição do amorfo	02
	c) fluorescência com a constituição do vidro	06
·	d) fluorescência em vidros com manganês	07
	II - o espectro de absorção e diagrama de níveis	07
Çapitulo II	Luminescência em vidros e cristais, suas alterações	
. •	com propriedades do material	
	I - o mecanismo que provoca a luminescência	09
	II - introdução às propriedades magnéticas de crista	is
	e vidros	_ 09
	III - correlação entre luminescência e propriedades	
· ·	magnéticas em:	
٠.	a) cristais	15
	b) vidros	19
Capitulo III	Propriedades magnéticas do vidro em estudo	20
	Medidas de susceptibilidade magnética com a tempera	.t <u>u</u>
	ra	
Capitulo IV	Teoria de Néel para grãos finos	27
	Um modelo para partículas magnéticas pequenas (~ 20	A <sup>o</sup> )
Capitulo V	Diagrama de níveis de energia	
	Regras de seleção	34
Capitulo VI	Arranjo Experimental	46
Capitulo VII	Resumo dos resultados Experimentais	50

Capítulo	VIII	Esboço do modelo	53
Capitulo	IX	Conclusão	56
Apendice	I	Spliting dos níveis do "one eletron" em diferentes simetrias	61
Apendice	II .	Tabela de caracteres	62
Referênci	ias		63

# Introdução

A fotoluminescência do Mn 2+ em solidos cristalinos e amorfos tem si do estudada, principalmente no que diz respeito aos cristais.

Somente em vidros, os esforços não foram tão marcantes, com respeito a cor do espectro de emissão. A teoria mais aceita é que a banda verde de luminescência é característica do Mn<sup>2+</sup> em coordenação tetraedral e a vermelha da octaedral (2) (3).

Alguns autores (2), encontraram em vidros contendo Mn 2+, a banda verde a qual se afasta para comprimento de onda crescente, com o acréscimo da con centração de Mn 2+ no vidro. Outros, encontraram emissão amarelo alaranjada (6), ou seja, a intermediária entre o vermelho e o verde. Este comportamento foi atribuido a presença das duas espécies, Mn 2+ 6 e 4 coordenado.

Estas foram as bandas observadas no campo da luminescência em amor - fos, atribuida ao manganês. As mesmas, quando utilizadas juntamente com o espectro de absorção, determinaram o tipo de coordenação do Mn 2+ em determinada matriz amorfa.

Na forma cristalina, o espectro de luminescência mostrou vital importância no que consiste a observação e análise de propriedades magnéticas (7,8,9) evidenciando transições de fase, e o comportamento das transições luminescentes, com a temperatura, nos casos de contração isotrôpica ou anisotrôpica (26, ) provocada pela distorção da rede.

Nos capítulos I e II, damos a ideia da luminescência e absorção, justamente com o intuito de correciona-las com as propriedades descritas como distorção da rede por ordenamento magnético, ja verificada em cristais, porém desconhecida em vidros.

Sabemos que diversos autores, usaram da emissão de cor na observa ção de propriedades tais como:

1) propriedades magnéticas do cristal com Mn +2 (7,8,9)

- 2) contração da rede por substituição de um cátion por outro (26)
- 3) alterações da simetria do ion luminescente <sup>(4,7,8,9)</sup>, implicando na violação das regras de seleção

Estas são três propriedades que podem influir na luminescência.

Com relação a 1), os espectros de absorção de cristais com manganês, também indicaram mudanças na energía das transições provocadas por efeitos magnéticos.

Não encontramos em vidros contendo  $M_n^{2+}$ , algum trabalho que tivesse sido proposto, para realizar por dados de luminescência, a análise dos efeitos de ordenamento magnético na simetria do ion luminescente.

Porem, foram realizadas em nossa amostra ( um vidro magnético com - MnO ), importantes análises, tanto estruturais como das suas propriedades magnéticas, como descrito e discutido no capítulo III, inclusive com a nossa cola boração na tentativa de explicar as propriedades, com base no modelo de Néel, inteiramente detalhado no capítulo IV.

Os dados de nossa amostra (Mn O, Al<sub>2</sub>O<sub>3</sub>, SiO<sub>2</sub> vidro),localizados na -bibliografia <sup>(10)</sup>, nos forneceram razões para realizarmos o estudo de lumines -cência em vidro, proposto por Holloway <sup>(7,8,9)</sup> para cristais, ou seja comparar e observar os efeitos de mudança da energia de máximo da banda de emissão de cor, com alterações pelo ordenamento magnético, explicando estes fenômenos com base no diagrama de níveis de energia do Mn<sup>2+</sup>.

Mudanças no comportamento da intensidade da luminescência podem ser explicadas pelas regras de seleção, e no capítulo V desenvolvemos a teoria para este procedimento, mais adiante adaptada aos nossos resultados.

A teoria de Neel, o magnetismo, o diagrama de niveis de energia, o campo de deslocação e as regras de seleção, formam um conjunto com o modelo optico, explicando nossos dados, os primeiros neste campo em vidros.

Luminescência e Espectro de Absorção

a) Centros de Fluorescência

A fluorescência do vidro é causada por um número relativamente peque no de unidades químicas chamadas Centros de Fluorescência. Geralmente a luz ultravioleta é absorvida e sua energia é utilizada para mover um eletron à uma posição mais distante do núcleo. Destes niveis instáveis, de mais alta energia, o eletron pode retornar, emitindo luz.

De acordo com a lei de Stokes, a energia da emissão é menor que a da irradiação. Assim, a luz emitida tem um comprimento de onda maior que a da luz incidente.

A perda de energia radiante é causada por dissipação de energia principalmente na forma de calor.

Embora alguns vidros possuam certa cristalinidade, outros amorfos inteiramente livres de cristalinizações são igualmente capazes de fluo rescer.

W.A. Weyl (3) classificou a principio os vidros, com base em seus centros de fluorescência, como vemos na Tabela I

Tabela I - Centros de Fluorescência em Amorfos

Centro de Fluorescência

1) Cristais Ativos

Zinco Silicato cristalino ativado por Mn ++

colocado em vidro fundido no qual e insolu

vel

2) Cristais Ativados

amorfos contendo Mn absorvidos pelo cris

taĺ

3) Atomos ou Moleculas

- a) moléculas de Cds
- b) atomos Ag

4) lons

a) cations 
$$Mn^{++}$$
,  $UO_2^{++}$ ,  $Ce^{3+}$ 

Nos vidros fluorescentes do tipo 3) e 4), a fluorescência é afetada por mudanças estruturais da seguinte forma:

- A intensidade da emissão de cor decresce e seu comprimento de on da de pico se desloca para o vermelho, quanto mais o centro de fluorescência é pertubado pelos arredores.
- 2) Aumentando a simetria da configuração, a banda de fluorescência se estreita (21). Isto auxilia na avaliação da diferença estrutural entre cristais e amorfos de composições iguais, especialmente como função da temperatura.
- 3) Aumentando a viscosidade e diminuindo a frequência de colisão aumenta o tempo de vida do estado excitado.

#### b) Constituição do Amorfo

A comparação de amorfos com soluções teve seus méritos, mas a pri - meira profunda satisfação se derivou da interpretação da análise de Raio X.

Com esta tese, o estado amorfo ou vitreo foi explicado pelo arranjo geométrico espacial de vários átomos de cargas relativas similares.

Como é de costume em quimica cristalina foram estabelecidas as regras que governam a carga e o número aparente de cátions e ânions, as quais "fitam" bem a interrelação entre os mais frequentes amorfos de um componente: SiO<sub>2</sub>, B<sub>2</sub>O<sub>3</sub>, B<sub>2</sub>O<sub>5</sub>...

Na Tabela II estas regras estão sumarizadas.

Tabela II - Condições de Formação do Amorfo

### Condições

unidade estrutural	Fó	rmu	lą	raio cation R	Soma Valencias O
		0		raio ânion O	valência R
Tetraedro	O.	R	0	0,22 - 0,41	
		0			cerca de 2
•				•	Tanto que O p <u>o</u>
					de estar ligado
				•	ao próximo R
,		0	,	0,15 - 0,22	
Triângulo	0	R	o	•	
					amostra

Fórmula

amostr

	<b>O</b> .	raio⊖	valencia R
Sio <sub>2</sub>	(-0 Si 0-) 0	0,32	$\frac{4xD}{Si} = \frac{8}{4} - 2$
	0		
P <sub>2</sub> O <sub>5</sub>	$(-0 \ P \ 0-)^{-3}$	0,26	$4x\Theta - 8 = 1 3/5$
	•		P · 5
в <sub>2</sub> 0 <sub>3</sub>	$(0 \ B \ 0)^{-3}$	0,15	$3x\Theta - 6 = 2$
<u>.</u> 3			В 3

unidade estrutural

A estrutura do SiO<sub>2</sub> (amorfo) e a de uma rede de SiO<sub>4</sub> 4-, tetraedrais, com cada oxigênio dividido entre dois silícios (37-3).

Porem, quase todo elemento pode participar na estrutura do amorfo.

Isto pode ser explicado pela localização de constituintes secundários, os chamados "modificantes", em lacunas da rede do proprio "glass formers" Modificantes típicos são Na<sup>++</sup> e Ca<sup>++</sup>.

Estes constituintes causam uma ruptura da rede de  $SiO_4^{-4}$ . Um certo número de oxigênios é dividido para os dois amorfos formando cátions e a perda de

estrutura começa a se manifestar por propriedades tais como queda de temperatura de melting, baixa viscosidade e baixa resistência química.

A maneira real de distinção entre "glass formers" e "modificantes" e o controle predominante da distribuição da carga no amorfo poliônico, por cam pos fortes de ions, capazes de formá-lo. A distância dos "glass formers" ao oxigênio e encontrada tão regular como num cristal onde as distâncias dos ions fracos (ions modificantes), estão sujeitas a maiores variações.

Tem se tornado evidente que nem as ligações muito fortes ou muito fracas entre um cátion e um ion oxigênio vizinho conduzem à formação do amorfo.
(Fig. 1) Além disso, forças de grande intensidade atraem os oxigênios formando compostos moleculares e usualmente compostos voláteis.

Fig. 1

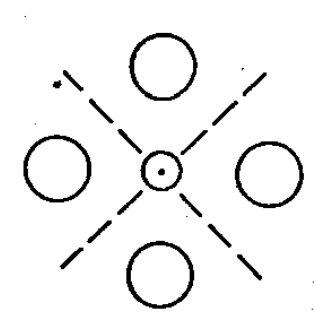


Fig 1A - Forças interiônicas; os chamados compostos polares, redes ionicas (21)

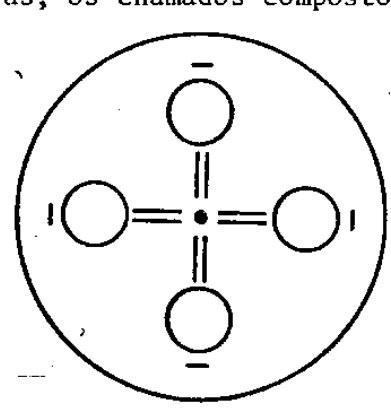
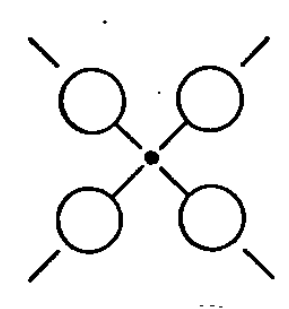


Fig 1B- Forças interionicas fortes, os chamados compostos moleculares usualmente voláteis a baixa temperatura



#### Fig 1C

Fôrças interiônicas intermediárias: tendencia de usar da metade da fôrça de campo do ion (ânion) para reter o cátion mais próximo, conduzindo a rêdes continuas de óxidos refratários e amorfos.

Porem, para uma descrição mais precisa da estrutura, deve ser levado em conta o campo e não cargas simétricas de esferas hipotéticas.

A Tabela III mostra alguns amorfos contendo "glass formers", compreen dendo PbO,  $Al_2O_3$ ,  $P_2O_5$  e alguns elementos óxidos raros.

#### Tabela III

Nome	Glass formers	propriedade principal
1) Pyrex	Si, B	baixa expansão, alta resistência
2) Flint	Si,Pb	alta refração, alta dispersão
3) Alumofosfato	Al, P	isolação, baixo ponto fusão
4) Amorfos de alto indice (de acordo com Morray)	La,Ta,B	alta refração, baixa dispersão

Uma análise constitucional, mostra que os amorfos podem compreender o sistema periodico inteiro de elémentos.

Nestes amorfos a fluorescência de um mesmo centro pode variar consisideravelmente.

c) Fluorescência e Constituição do Vidro

Assumindo que os principais constituintes do vidro são:

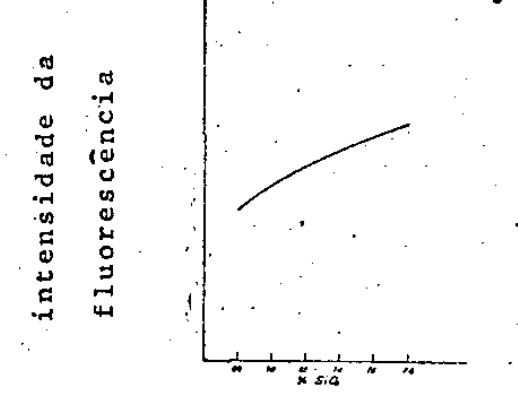
1) oxigênio, 2) um "glass forming strong cation" como o caso do silicio e 3) um cation modificante como o sódio; tanto a intensidade como o comprimento de onda e a largura da banda de fluorescência, devem ser afetados pela mudança nestes constituintes.

A intensidade e afetada pela mudança da natureza do "glass forming" (bem como do cation modificante) e pela razão entre estes.

Geralmente, a intensidade é favorecida por:

- a) alta porcentagem de formadores de cation amorfos
- b) fortes formadores de cations amorfos

No caso da silica<sup>(21)</sup> num vidro alcalisilicato, um aumento da concentração desta conduz a elevação na intensidade de fluorescência do UO<sub>2</sub><sup>2+</sup>

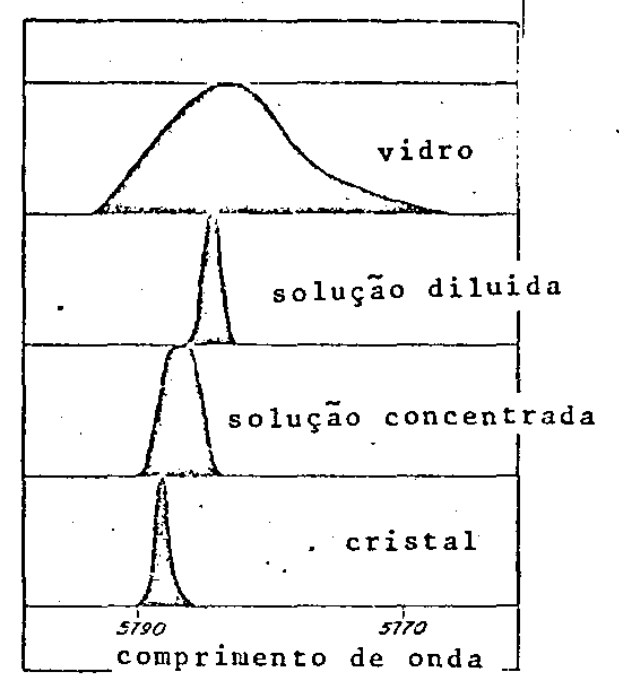


Intensidade da fluorescência do UO<sup>2</sup>
com porcentagens variadas de SiO<sub>2</sub>.

A curva pode ser interpretada com indicação de que uma rede bem mais forte estã ocorrendo.

O caso da fluorescência do Europium, também é explicado do ponto de vista estrutural (figura a seguir)

O decrescimo do comprimento de onda é observado, quando temos o - Europium numa série de vários meios como: vidro, solução diluida, concentrada e forma cristalina.



Posição da banda de fluorescência do Europium em vários meios.O com - primento de onda da fluorescência cresce quando vamos a soluções mais concentradas.

# d) Fluorescência de Vidros que contêm Manganês como ativador

O manganês divalente, Mn<sup>+2</sup>, como um ativador de cristais e vidros produz fluorescência que varia do vermelho ao verde, conforme o meio em que este se encontra<sup>(2)</sup>.

Este ion aparece em amorfos como Mn<sup>3+</sup> e Mn<sup>2+</sup>. O Mn<sup>2+</sup> so, fluoresce do vermelho ao verde dependendo da constituição basica do vidro. Porem, a presença simultânea da especie Mn<sup>3+</sup> pode cobrir a fluorescência do Mn<sup>2+</sup>, sendo no entanto possível reduzi-lo a Mn<sup>2+</sup> no processo de fusão.

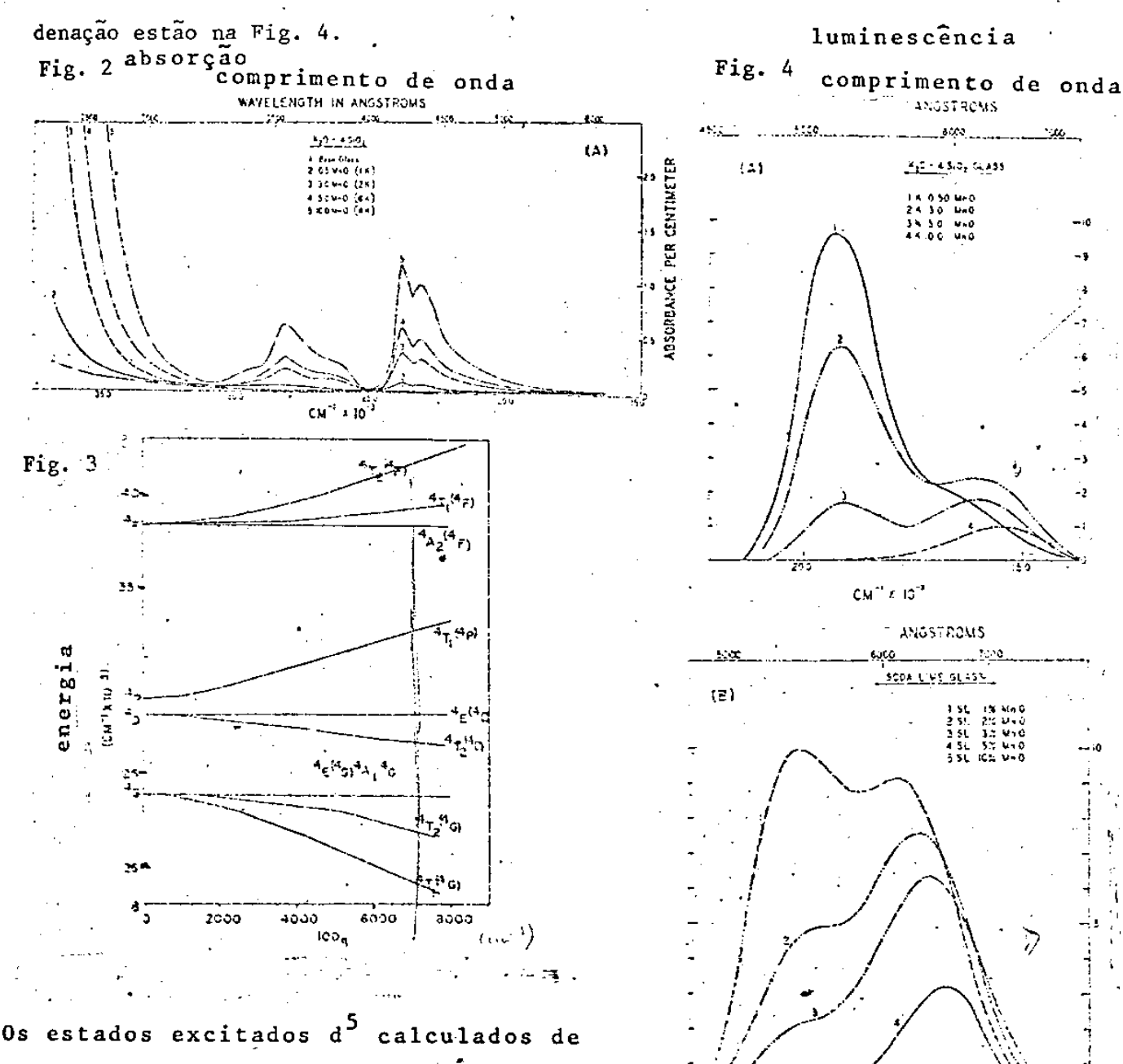
Linwood e Weyl<sup>(3)</sup>, atribuiram a luminescência vermelha do Mn<sup>2+</sup> em vidros, à forte pertubação causada pela perda estrutural. Esta luminescência vermelha é a mais afetada por vibrações térmicas, por ser característica das ligações menos rígidas.

II - Diagrama de Niveis de energia e Espectro de Absorção. Ideia: construção do Diagrama de niveis, por dados do espectro absorção.

Um espectro de absorção típico de amostras vítreas contendo manganês em sílica, com concentrações variadas de MnO (2) (Fig. 2), pode ser utilizado para construir o diagrama de níveis de energia do Manganês, e por intermedio des-

te, consegue-se interpretar possíveis alterações no espectro de luminescência (Fig. 3 e 4).

O diagrama assim calculado por Turner e ilustrado na figura 3<sup>(2)</sup> e as bandas verde e vermelha de luminescência, interpretadas em termos de coo<u>r</u>



matrizes de Campo Forte, B= 624 e C= 3520

Dependência da concentração de MnO no espectro de luminescência do Mn<sup>2</sup> em SODA - LIME - SÍLICA (vidro) e  $K_2^{0-4}$  SiO<sub>2</sub> (vidro)

Luminescência em Cristais e Vidros

# I - O mecanismo que provoca a luminescência

Geralmente, o espectro de absorção e diagramas de níveis de energia tipicos de uma dada amostra, auxiliam demasiado na orientação experimental a ser seguida para a tomada de dados, ou seja do espectro de emissão de cor.

O espectro de absorção como na Fig. 2, ilustra bandas que são geral mente usadas para determinação de dados que possibilitam construir o diagrama de níveis de energia (Fig. 3), como mencionado no Capítulo anterior. Como a - luminescência é um processo de emissão, ao contrário da absorção, necessita - mos excitar o material em estudo com uma energia que deve coincidir com uma - das bandas do espectro de absorção, onde temos maior probabilidade de excitar eletrons, que decairão após, causando a luminescência característica.

No caso ilustrado a transição particular  $4 T_{1g}(4G)^{(2)} \rightarrow \text{ground state}$ , determina a banda do espectro de luminescência e conforme a interação mais ou menos importante do manganês com seus arredores temos bandas com maior ou me-nor energia, (ou seja o pico da emissão se deslocando do verde ao vermelho).

#### II - Comportamento Magnético

#### a) Ordem Ferromagnetica

Um material ferromagnético tem um momento magnético espontâneo - um momento magnético existente mesmo quando o campo aplicado é nulo. Este momento espontâneo sugere que spins eletrônicos e momentos magnéticos sejam arranjados de uma maneira regular, como sugere a figura abaixo.

# 1 1 1 1 1

- Ponto de Curie e Integral de Exchange

Vamos considerar um material paramagnético com uma concentração de N

ions de spins S. Uma dada interação tende a alinhar os momentos magnéticos paralelamente entre si, então nos temos um ferromagneto. Vamos postular tal interação e chamá-la de campo de exchange. O efeito de orientação do campo de exchange é oposto pela agitação térmica e a temperaturas elevadas a ordem é destruida.

Podemos tratar o campo de exchange como um campo magnético  $\vec{B}_E$  e assumirmos que  $\vec{B}_E$  é proporcional a magnetização  $\vec{M}$ , onde  $\vec{M}$  é definido como momento magnético por unidade de volume. Em aproximações de campo médio podemos assumir que cada átomo magnético experimenta um campo proporcional a magnetização:

$$\lambda \stackrel{\rightarrow}{M} = \stackrel{\rightarrow}{B}_{E} \tag{1}$$

onde a constante  $\lambda$  independe da temperatura.

A temperatura de Curie TC, e a temperatura acima da qual a magnetiza ção espontânea desaparece; esta separa a fase desordenada paramagnetica aT > Tc da fase ferromagnetica ordenada T < Tc.

Consideremos a fase paramagnética; um campo aplicado  $\vec{B}_a$  causará uma magnetização finita e assim causará um campo de exchange finito  $\vec{B}_E$ . Se X  $\vec{e}$  a susceptibilidade magnética,

$$\widetilde{M} = \chi \rho \ (\widetilde{B}_2 + \widetilde{B}_E)$$
 (2)

onde χρ = C/T - Lei de Curie, C ẽ a constante de Curie e T a temperatura.

Usando (1) e (2) 
$$\chi = \frac{M}{B_a} = \frac{C}{(T - C\lambda)}$$
 (3)

A susceptibilidade tem uma singularidade a T = Cλ. A esta temperatura, (e abaixo) existe magnetização esportânea. De (3), temos a lei de Curie-Weiss.

$$\chi = \frac{C}{T - T_C} \qquad (4) \qquad T_C = C\lambda \qquad (5)$$

O campo de exchange da uma representação aproximada de interação de

troca da mecânica quântica. Pode ser mostrado que a energia de interação de ãtomos i, j, possuindo spins  $\bar{S}_i$ ,  $\bar{S}_i$  contêm um termo

$$\vec{u} = -2 J \vec{s}_i - \vec{s}_i$$
 (6)

onde J e a integral de exchange e está relacionada com o "overlap" das distribuições de carga dos átomos i, j. A equação (6) e chamada modelo de Heisenberg.

A distribuição de cargas de um sistema de dois spins, se os mesmos são paralelos ou antiparalelos, para o princípio de Pauli exclue dois eletrons de mesmo spin existirem no mesmo lugar em mesmo tempo. Isto não exclue dois eletrons de spins opostos. Então a energia eletrostática de um sistema, dependera da orientação relativa dos spins; a diferença em energia define a Energia de Exchange. A energia de exchange de dois eletrons pode ser escrita na forma -2 J  $\overline{S}_1$  .  $\overline{S}_2$  , como em (6).

Estabelecemos uma conecção aproximada entre a integral de exchange J em (6) e a constante de exchange em (1). Aqui supomos que o átomo em consideração possui z vizinhos mais proximos, cada um conectado com o átomo central pela interação J. Para vizinhos mais distantes, tomamos J = 0. A energia requerida para inverter o spin em consideração na presença de todos os outros spins pode ser escrita, desprezando componentes de S perpendicular a magnetização media como:

$$u = 4J z \overrightarrow{S}^2 = 2\overrightarrow{\mu} \overrightarrow{B}_F = 2\overrightarrow{\mu} (\lambda \overrightarrow{M}_S) = 2\overrightarrow{\mu} (\lambda \overrightarrow{\mu}/\Omega)$$
 (7)

onde  $\vec{S}$   $\vec{e}$  o valor medio de  $\vec{S}$  na direção da magnetização e  $\Omega$   $\vec{e}$  o volume por  $\vec{a}$ to mo. O momento magnético de um spin  $\vec{e}$   $\vec{\mu}$  = g S  $\mu_{b}$  e a magnetização de saturação  $\vec{e}$  M<sub>g</sub> =  $\mu$  / $\Omega$ . Então de (7)

$$\lambda = \frac{2J z \Omega}{g^2 \mu_{\rm p} 2} \tag{8}$$

Usando (5) e  $\Omega = 1/N$  temos

$$J = \frac{3 \text{ KB T}_{C}}{2z \text{ S(S+1)}}$$
 (9)

Dependência da Magnetização de Saturação com a temperatura.

Podemos usar a aproximação do campo medio também, abaixo da temperatura de Curie, para encontrar a magnetização como função da temperatura. Vamos proceder como anteriormente, só que ao invês da lei de Curie vamos usar a expressão de Brillouin completa  $^{(33)}$  para a magnetização. Para spin 1/2 esta é M = N $\mu$  tanh  $(\mu B/_{KB}$  T). Se omitimos o campo magnético aplicado e substituimos B pelo campo molecular  $B_{\rm F}$  =  $\lambda M$  então:

$$M = N\mu \tanh (\mu\lambda M/K_R T)$$
 (10)

A solução desta equação com M  $\neq$  0 existe para 0< T< T $_{
m C}$ 

#### b) Ordem Ferrimagnetica

Em alguns cristais ferromagnéticos, a magnetização de saturação não corresponde ao alinhamento paralelo dos momentos magnéticos dos ions paramagnéticos constituintes, mesmo em cristais onde há forte evidência do que os ions paramagnéticos individuais tenham seus momentos magnéticos normais. Um exemplo é a magnetita,  ${\rm Fe_3O_4}$  ou  ${\rm Fe_2O_3}$ . Os ions  ${\rm Fe^{3+}}$  estão num estado com spin S =  ${\rm 5/2}$  e momento orbital zero, então cada ion contribui com  ${\rm 5_{\mu B}}$  para o momento de saturação. Os ions  ${\rm Fe^{2+}}$  contribuem com  ${\rm 4_{\mu B}}$ . Então o número efetivo de magneton de Bohr por formulaunitária de  ${\rm Fe_3O_4}$  deve ser (2x5) + 4 = 14 se todos os spins estão paralelos. O valor observado é 4,1 . Esta discrepância é explicada se os momentos dos ions de  ${\rm Fe^{3+}}$  estão dispostos antiparalelamente um com outro Então o momento observado aparece somente do ion  ${\rm Fe^{2+}}$ 

Temperatura de Curie e susceptibilidade de Ferrimagnetos.

Vamos definir separadamente constantes de Curie CA e CB para os si -

tios A e B.

Sejam 
$$\overline{B}_A = -\mu \overline{M}_B$$
 e  $\overline{B}_B = -\mu \overline{M}_A$ 

$$\overline{M}_A T = Ca(\overline{B}a - \mu \overline{M}_B) \qquad \overline{M}_B T = C_B(\overline{B}a - \mu \overline{M}_A) \qquad (11)$$

onde  $\bar{B}a$   $\tilde{e}$  o campo aplicado. Estas equações têm solução diferente de zero para  $\bar{M}_A$  e  $\bar{M}_R$  em um campo aplicado se

$$\begin{vmatrix}
T & \mu & C_A \\
\mu & C_D & T
\end{vmatrix} = 0$$
(12)

tal que a temperatura ferrimagnética de Curie é dada por

$$T_{C} = \mu (c_{A} c_{B})^{1/2}$$
 (13)

resolvendo (11) para  $M_A$  e  $M_B$  obtemos a susceptibilidade a T >  $T_C$ 

$$\chi = M_{A} + M_{B} = \frac{(C_{A} + C_{B})T - 2\mu \quad C_{A} \quad C_{B}}{T^{2} - T_{C}^{2}}$$
(14)

No caso antiferromagnético a ser considerado  $C_A = C_B$ 

## c) Ordem Antiferromagnética

Em um cristal antiferromagnético os spins estão ordenados num arranjo antiparalelo com momento resultante zero a temperatura abaixo da temperatura de Neel , ou temperatura de ordenamento .

O antiferromagnético é um caso especial de ferrimagnetismo onde as subredes A e B têm magnetização igual. Então  $C_A = C_B$  e a temperatura Néel na aproximação do campo médio é dada por:

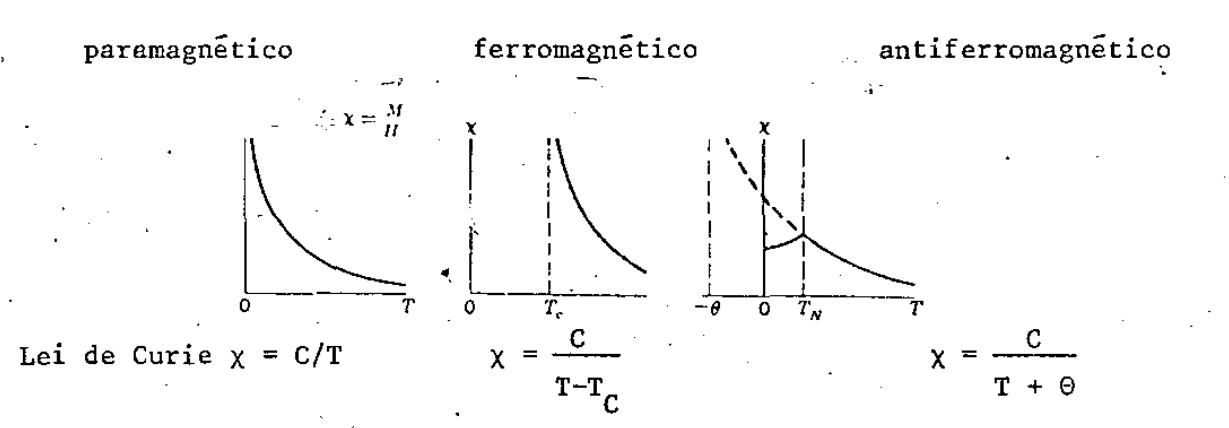
Susceptibilidade na região paramagnética T > T<sub>N</sub> é obtida de (14)

$$\chi = \frac{2CT - 2 \mu C^2}{T^2 - (\mu C)^2} - \frac{2C}{T + \mu C} = \frac{2C}{T + T_N}$$
 (16)

Os resultados experimentais a T >  $T_M$  são de forma

$$\chi = \frac{2C}{T + \Omega} \tag{17}$$

Dependência da temperatura com a susceptibilidade para materiais para magnéticos, ferromagnéticos, e antiferromagnéticos.



Lei de Curie Weiss

 $\Gamma > T_N$ 

 $T > T_{c}$ 

- Susceptibilidade abaixo da temperatura de Neel

Temos duas situações: com o campo aplicado perpendicular ao eixo dos spins e com o campo paralelo ao mesmo.

Para Ba perpendicular ao eixo dos spins, nos podemos calcular a sus -ceptibilidade por considerações elementares. A densidade de energia na presença do campo e;

$$M = |M_A| = |M_B|$$

(18) 
$$u = \mu \bar{M}_A \cdot \bar{M}_B - \bar{B}a \cdot (\bar{M}_A \cdot \bar{M}_B) \approx -\mu \bar{M}^2 \left[1 - \frac{1}{2} (2\phi)^2\right] - 2\bar{B}a\bar{M}$$

onde 2¢ e o angulo que cada spin faz com cada outro.

A energia vai ser maxima quando

tal que 
$$x_1 = \frac{2M \phi}{Ba} = \frac{1}{\mu}$$

Na orientação paralela, a energia magnética não  $\tilde{e}$  modificada, quando os sistemas de spins A e B fazem ângulos iguais com o campo. Então a susceptibilidade a T=0  $^{\circ}$ K  $\tilde{e}$  zero ou  $^{\circ}$ 

$$\chi_{ff}(0) = 0$$
 (20)

III - Luminescência

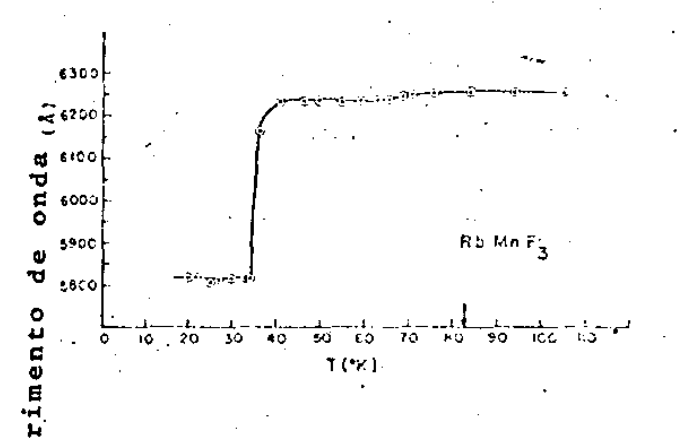
a - Em cristais - correlação com as propriedades magnéticas

No campo dos cristais, a luminescência foi exaustivamente utilizada na detecção e estudos de propriedades, principálmente magnéticas.

Os fenômenos de contração de rede, ou variação do parâmetro da mesma, quando a amostra experimenta um ordenamento antiferromagnético, foram pesquisa - das e discutidas primeiramente por Holloway<sup>7,8,9</sup>.

Alterações deste tipo, foram evidenciadas pela mudança em comprimento de onda do máximo da banda de luminescência, para um cristal do tipo magnético, ou seja a medida da deslocação da energia de máximo.

Em amostras cristalinas do tipo  $\operatorname{Mn} F_2$ ,  $\operatorname{K} \operatorname{Mn} F_3$  e  $\operatorname{R}_b$   $\operatorname{Mn} F_3$ , esses "shifts" foram explicados em termos de contração de rede à temperatura de ordenamento antiferromagnético . Fig. 5 a 8.



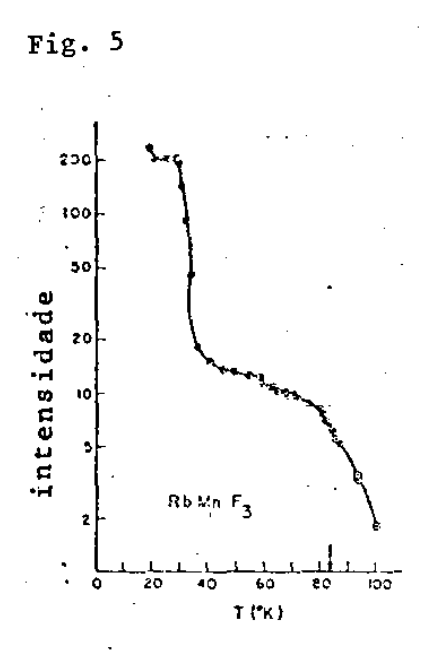
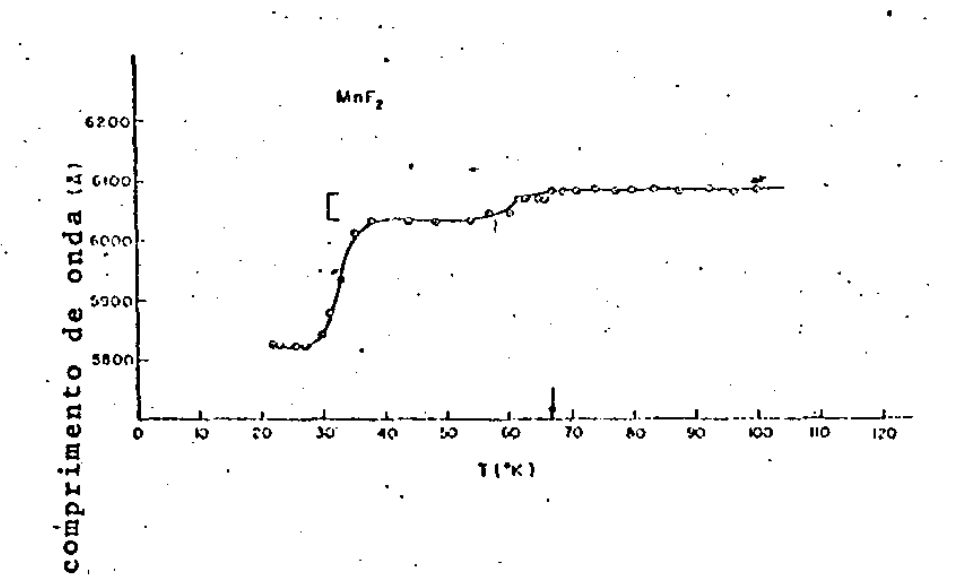
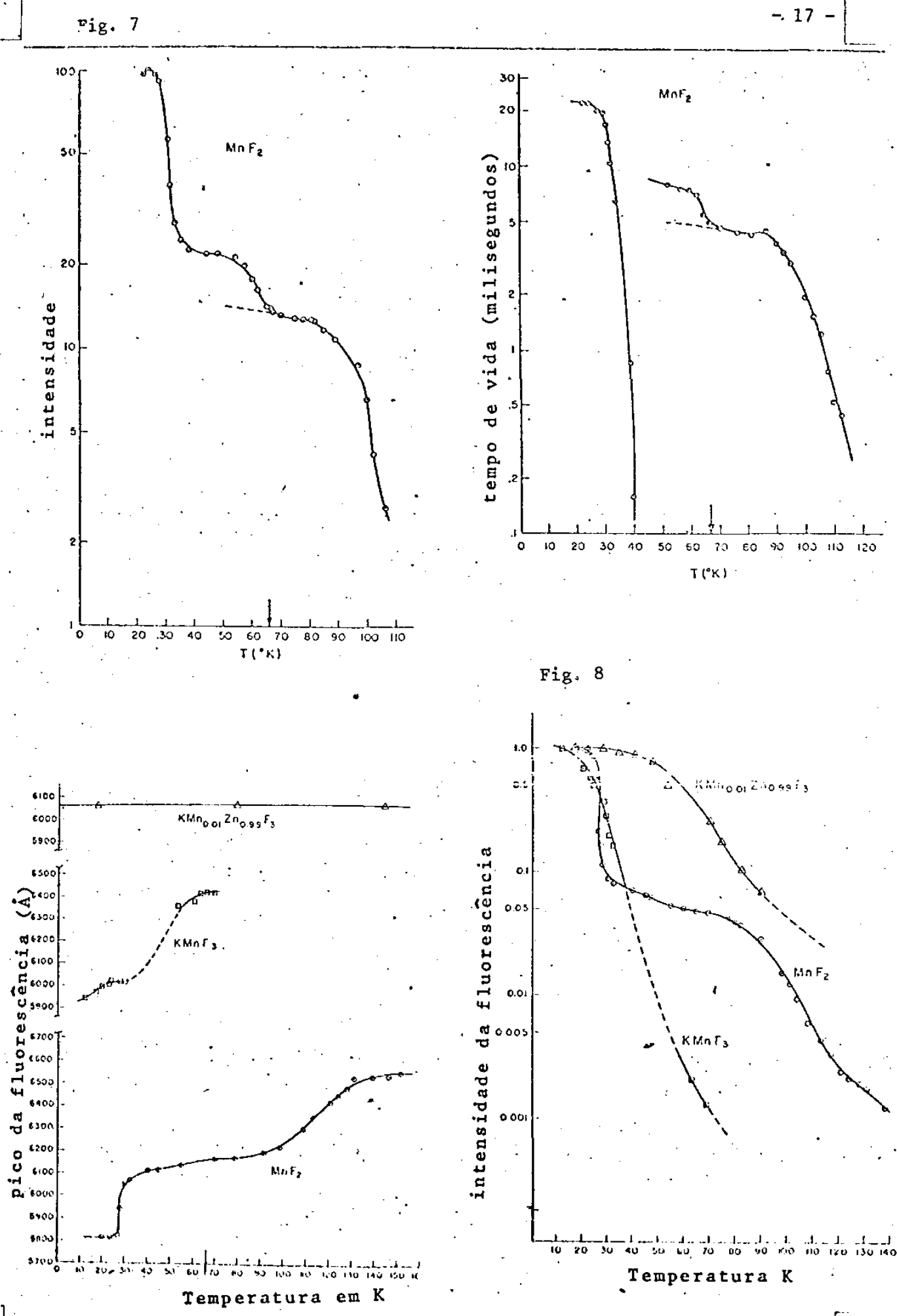


Fig. 6





Nas figuras anteriores 7,8,9, notamos a temperatura de Neel respectivas, as mudanças em comprimento de onda.

Por outro lado Narita (26 ) baseado no espectro de emissão do Mn<sup>2+</sup> no calcioflurofosfato I, verificou alguns "shifts" para o lado de baixa ener gia, ocasionados pela variação na constante da rede.

Este assumiu que a fluorescência era devida às transições dos ions Mn , do estado excitado mais baixo ao "ground state" e seus calculos levaram a um shift do pico de emissão da ordem de 200 A<sup>o</sup> para o lado de comprimento de onda crescente, ocasionados pelo decrescimo de 1% na constante da rede.

Na figura abaixo, o diagrama de níveis calculados, de dados espectros copicos e o calculado para uma contração de 2%.

Experimentalmente, foi observado que al 29200 (a) (c) (b)

Segundo o autor, um decrescimo de 2% na constante da rede, causaria um shift de aproximadamente 300 cm<sup>-1</sup> para o lado de baixa energia.

guns picos se deslocam de ~ 100 cm-1 para o lado de grandes comprimentos de onda, quando um Ca em cada Ca<sub>10</sub>(PO<sub>4</sub>)<sub>6</sub>F<sub>2</sub> e trocado por um Cd,ocasionando uma alteração na constante de rede, (neste caso anisotropica) com um decrescimo 0,042% e 0,35% ao longo dos eixos a e c respectivamente.

9-niveis de energia do Mn<sup>2+</sup>no estado do ion livre e no calcio- fluorfosfato stal), em cm<sup>-1</sup>

- a) niveis de energia do Mn de dados espectroscopicos b) níveis de energia calculados (do Mn<sup>2</sup>) no calcio- fluorfos-
- c) niveis de energia do Mn<sup>2+</sup>no cristal de calcio-fluorfosfato

Em resumo, notamos que a alteração causada na rede, pelo ordenamento magnético é possível de ser observada pelo estudo na variação do diagrama de níveis, que por sua vez reflete nos dados experimentais do espectro de emissão. O método proposto de observar as mudanças nos cristais por ordenamento antifer romagnético, através da luminescência é portanto de grande eficiência.

#### b - Em vidros

(7)

O mesmo estudo realizado por Holloway, não teve desenvolvimento no -

O espectro de emissão foi utilizado mais com o intuito de investigar a coordenação do manganês em diversas amostras vítreas, relacionando a lumines cência com o espectro de absorção e diagrama de níveis.

Neste nosso trabalho, nos propusemos a realizar estudo semelhante ao de Holloway nos vidros magnéticos, tentando dar uma contribuição nova, a pri - meira que se tem conhecimento nos vidros.

Propriedades Magnéticas do Vidro em estudo

O material em questão é composto de MnO, Al<sub>2</sub>O<sub>3</sub> eSiO<sub>2</sub>.

Com vista ao seu conhecimento, resumimos suas propriedades já observadas.

- Generalidades

Composição : MnO , SiO<sub>2</sub> e Al<sub>2</sub>O<sub>3</sub> (vidro)

Foi realizado o "annealing" desta amostra<sup>(10)</sup>, revelando que para varias temperaturas de "annealing" acima de 550°C e tempos de "annealing" acima de 12 horas, as suas propriedades magnéticas não se alteram.

A análise de raios X destes vidros apos "annealing", indicaram não  $\underline{e}$  xistir devitrificação (10). So apos temperaturas de "annealing" maiores que - 650  $^{\rm o}$ K, a devitrificação se tornou evidente no material.

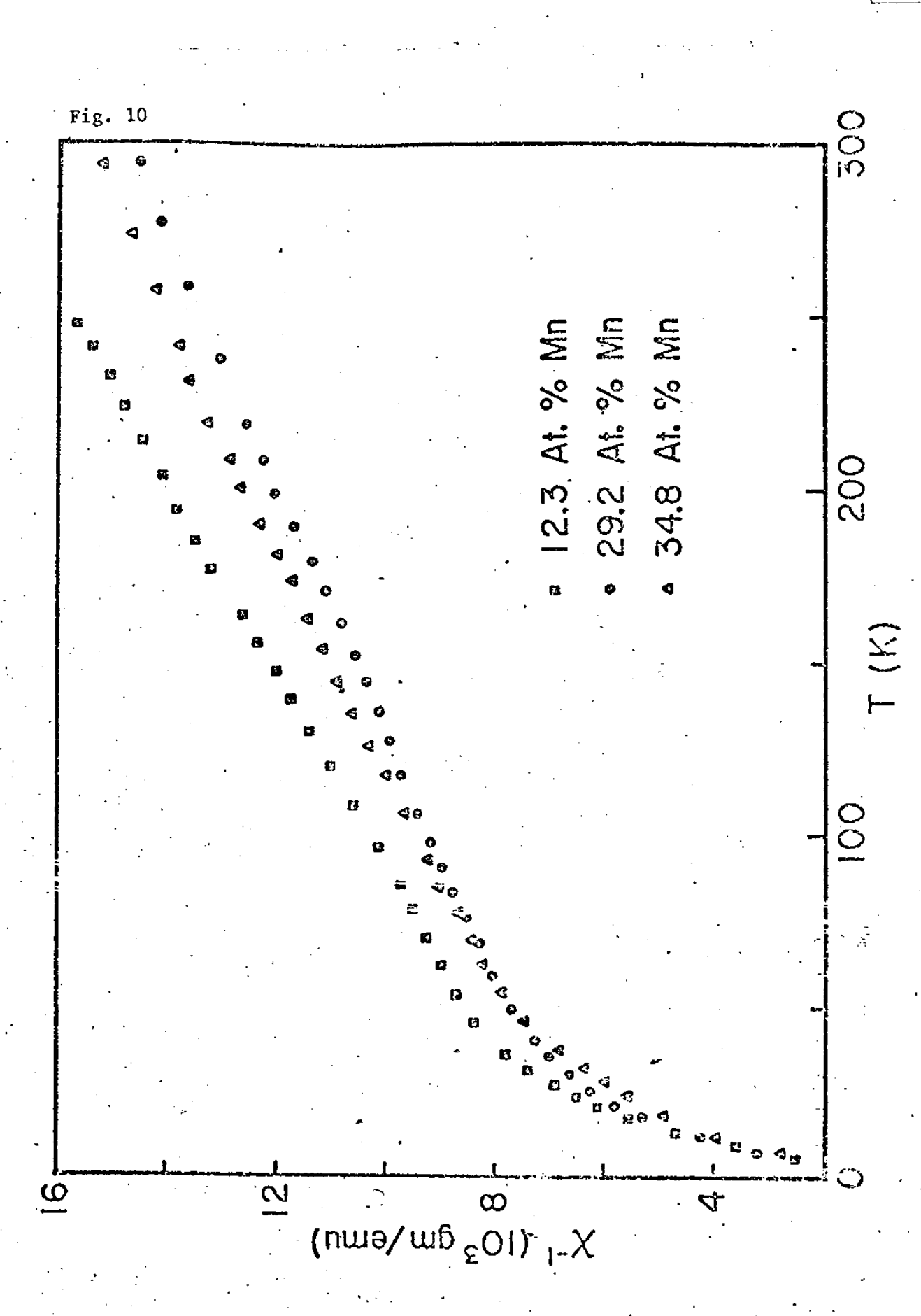
Foram realizadas analises de microscopia eletrônica para evidenciar alguma separação de fase, quando foi encontrado que a superfície era essencial mente uniforme sobre a amostra.

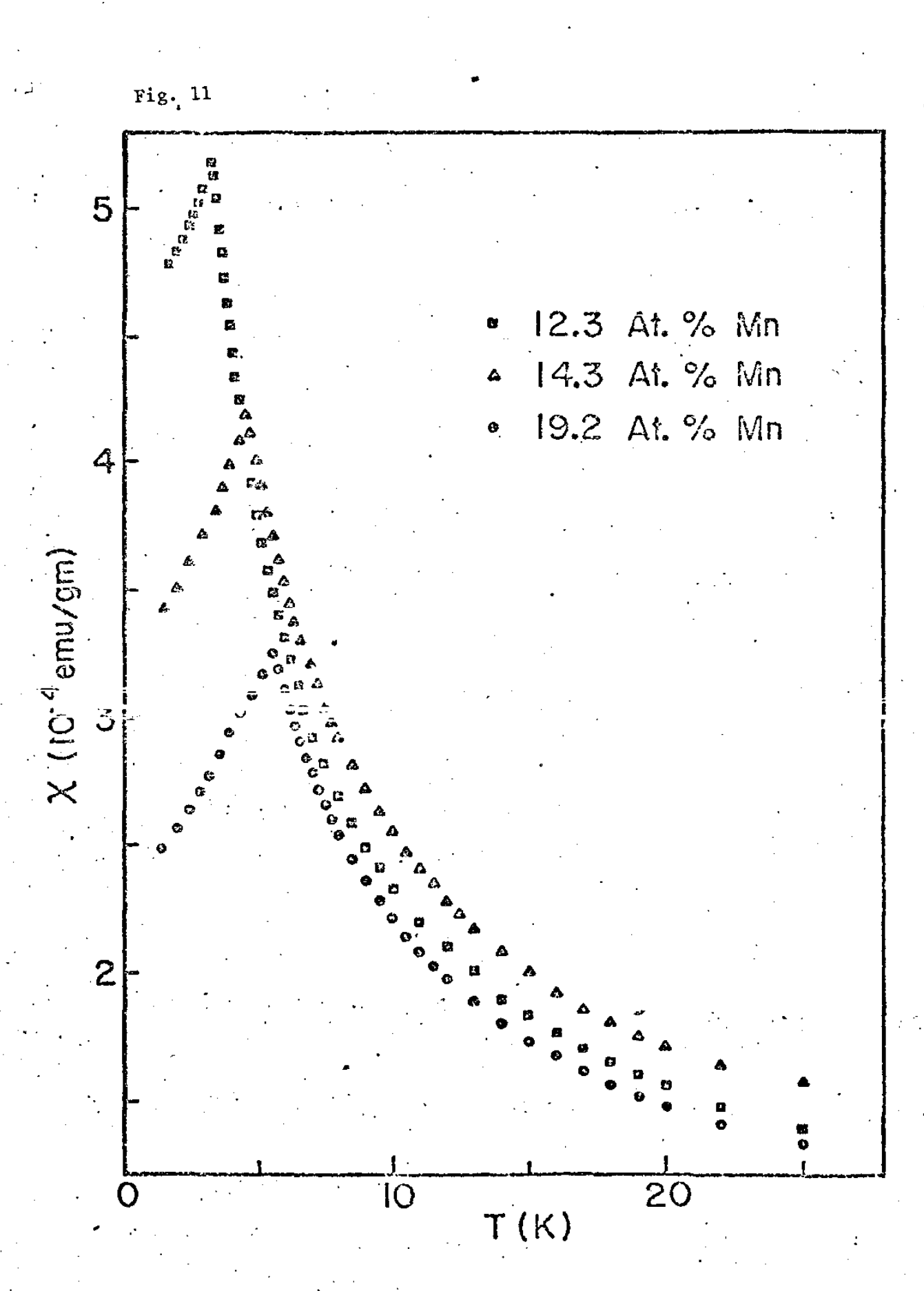
Uma fase foi revelada e consistia de glóbulos esféricos rodeados - por uma segunda fase. O fato destes glóbulos serem esféricos implicou ser esta uma fase amorfa. O microscópio eletrônico mostrou claramente esta separa - ção de fase (10), embora a bibliografia não dê ideia da extensão desta fase.

#### -Propriedades do Vidro

Nas figuras a seguir, ilustramos medidas de susceptibilidade magnét<u>i</u> ca com a temperatura no intervalo 1,5 - 300 °K, usando baixo campo AC, com valor de pico 5G<sup>(10)</sup>, para algumas amostras da "família" da nossa, em função da concentração de Mn.

Estes gráficos podem ser divididos em duas regiões: uma de alta temperatura (acima de  $\sim 50$   $^{\rm O}$ K) e outras abaixo desta





#### a) Regime de Alta Temperatura

Na região 50 - 300 <sup>O</sup>K, notamos que a susceptibilidade é proporcional à temperatura. A extrapolação desta parte linear encontra o eixo de temperatura na sua parte negativa, indicando serem as interações nos vidros de natureza antiferromagnética.

O valor negativo da temperatura paramagnética de Curie, também indica que algum ordenamento deve ocorrer, devendo ser de natureza ferri ou antiferro magnética.

0 valor experimental do momento efetivo do Mn  $\tilde{e}$  da ordem de aproxima damente 4,7  $\mu_B$ , enquanto o valor esperado para Mn  $^{2+}$ , Mn  $^{3+}$  e Mn  $^{4+}$   $\tilde{e}$  da ordem de 5,92  $\mu_B$  (10) aproximadamente.

O comportamento de  $\chi$  nesta região obedece a lei de Curie-Weiss linear dada por:

$$\chi = \frac{C}{T + \Theta}$$

#### b) Regime de Baixa Temperatura

Como vemos pelas ilustrações a T < 50 °K, a susceptibilidade deixa seu comportamento linear para aumentar bruscamente revelando um paramagnetismo forte, que não é característica dos antiferromagnéticos.

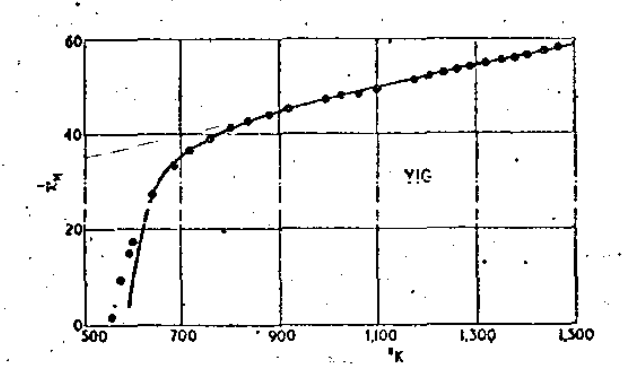
Este aspecto pode ser explicado se tomarmos em conta que este vidro possui regiões de alta concentração de Mn, denominados monodomínios, separados por áreas menos concentradas  $^{(11)}$ , possuindo cada um momento magnético  $\mu$  resultante da compensação imperfeita dos momentos ionicos, podendo  $\mu$  se tornar muito grande quanto menor o monodomínio  $^{(34)}$ .

O momento magnético resultante de cada monodomínio e o comportamento da susceptibilidade com a temperatura, nos induzem a pensar em interações tipo ferrimagnéticas de longo alcance.

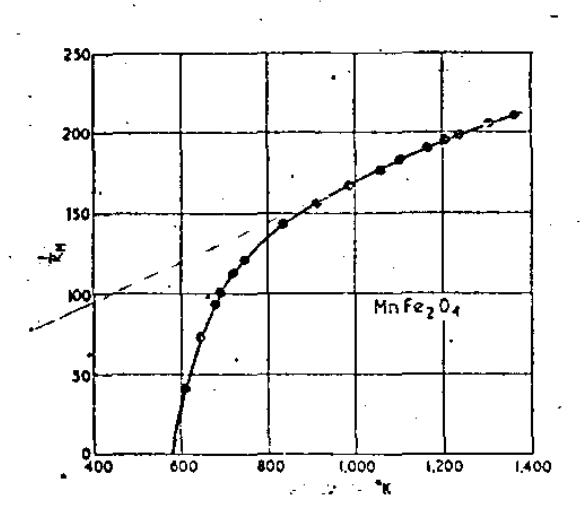
O que assumimos é bem satisfatório, pois quando o ordenamento magnético de longo alcance é destruido por agitação térmica acima do ponto de Curie, um material ferrimagnético se comporta paramagneticamente, e a susceptibilidade de cresce com o aumento da temperatura, a princípio rapidamente para passar a depender inversamente com (T-0) a altas temperaturas. (29)

Este comportamento é indicado a seguir

Fig. 12



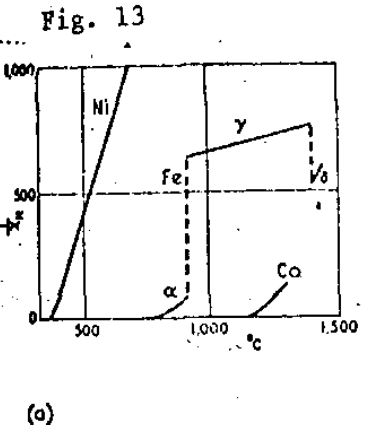
Desvio da Lei de Curie-Weiss,li near para amostras ferrimagnéti cas (0 < 0)

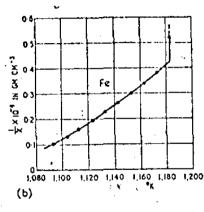


O valor negativo de θ (refletindo interações negativas entre os ions), esta em contraste com os valores positivos para amostras ferromagnéticas.

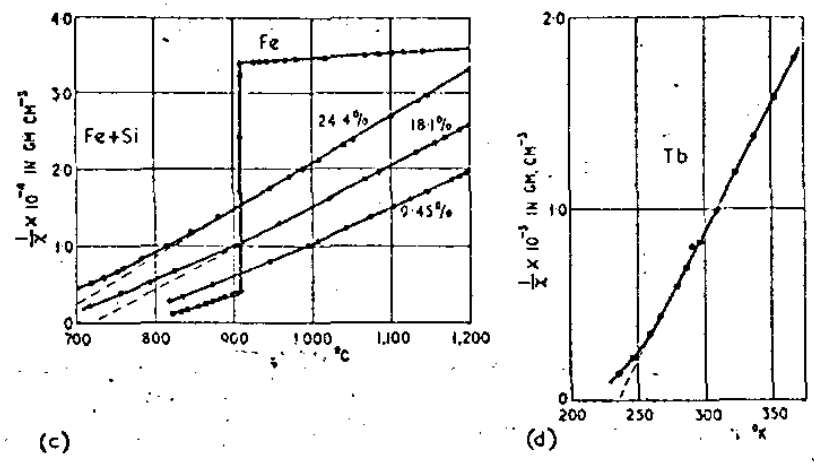
A mudança de  $\chi$  acima de  $T_C$  é muito maior em materiais ferrimagnéticos. As curvas medidas podem ser fitadas para todas as temperaturas por meio de uma expressão da forma hiperbólica:

$$\chi = \frac{T - \Theta}{C} - \frac{\varepsilon}{T - \Theta'}$$





Desvio da Lei de Curie-Weiss para amostras ferromagnéticas.



g 13. Variação da susceptibilidade inversa com a temperatura para ferníquel e cobalto, do terbio e amorfos ferro silício, todas amostras rromagneticas

A Lei Curie-Weiss não fita a susceptibilidade a baixas temperaturas devido a alguma forma de ordenamento de longo alcance já se iniciar.

Experiências de "razão de muon depolarização" (abaixo ilustrada), mos traram abaixo de - 30 K um acrescimo acentuado, indicando que a esta tempera tura jã aparecem campos dipolares internos devido ao início do congelamento das direções dos spins de Mn.

Todo este comportamento, pode ser explicado assumindo-se os domínios como comportando-se superparamagnéticamente.

Finalmente, na região - 4 K o máximo em χ ocorre devido ao ordena - mento de longo alcance entre monodomínios (37). (31,34,29,35)

Muon depolarisation rate (37)

Resultado interpretado por de Graaf (37) como o aparecimento de campos dipolares abaixo de 30 °K, indicando o início de fortes interações entre monodo mínios que atingem a temperatura de bloqueio a ~ 3,5 °K.

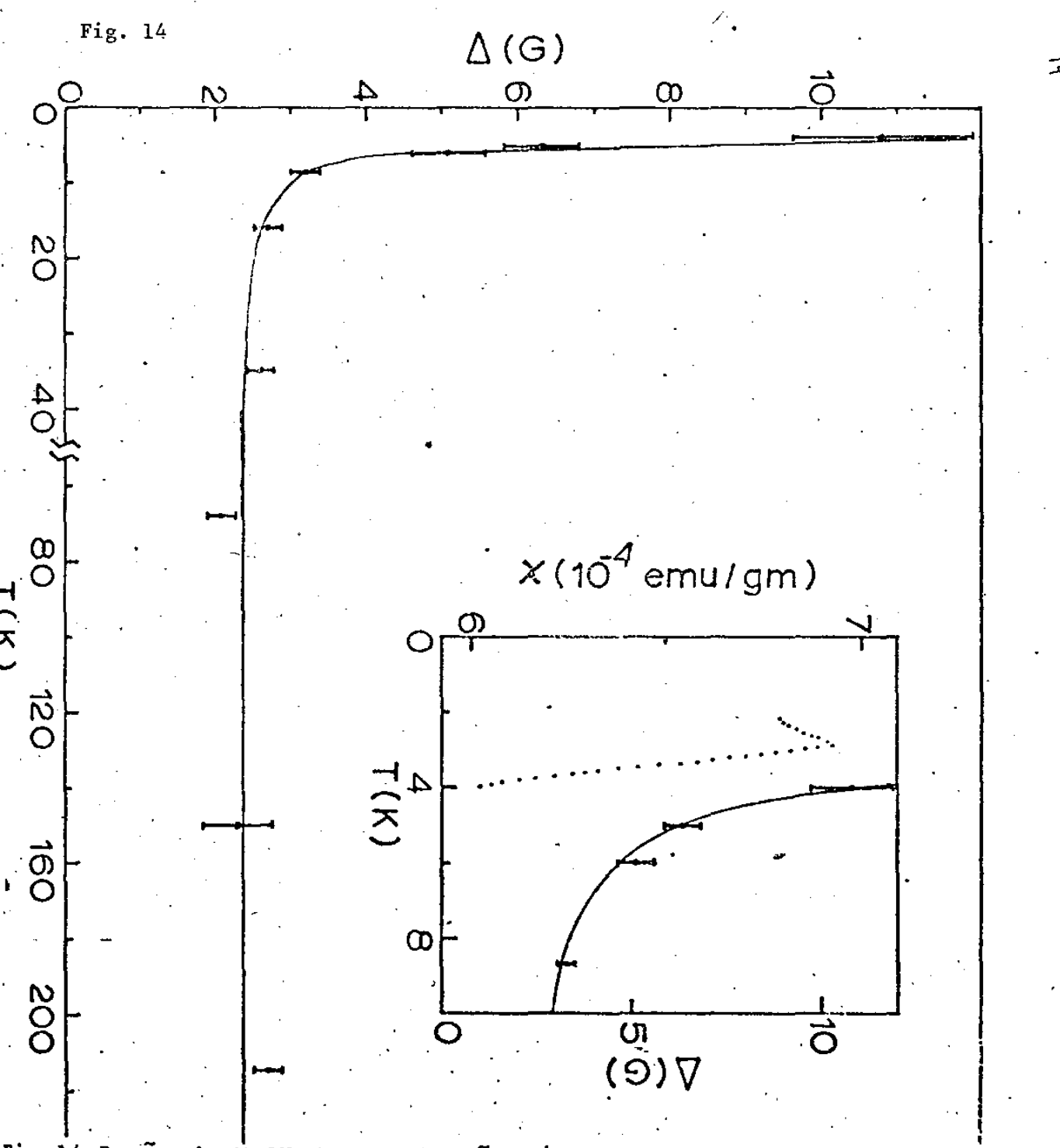


Fig 14 Razão de MUON depolarisação expresso como largura de linha, na amostra: MnO SiO<sub>2</sub> Al<sub>2</sub>O<sub>3</sub> (vidro). Susceptibilidade magnética por temper/ratura no gráfico tracejado.

#### A Teoria de Néel

Superparamagnetismo de grãos finos antiferromagnéticos.

a) Estrutura de grãos finos

Se supomos um material antiferromagnético maciço com duas subredes

A e B, as mesmas são equivalentes contendo o mesmo número de atomos magnéticos.

Já num grão muito fino que contenha um número N muito pequeno de átomos magnéticos é sabido que cada subrede não possui N/2 átomos (5), o que provo ca um ferrimagnetismo.

Vamos considerar dois casos:

- a grãos muito finos com um diâmetro da ordem de dezenas de angstrons, possuindo rede muito mal organizada, com lacunas sem faces desenvolvidas, como uma esponja.
- b grãos mais grossos (porem bem finos), com algumas cente nas de A<sup>o</sup> de diametro, com faces melhor desenvolvidas, como sendo um poliedro.

No primeiro caso podemos dizer que o grão consiste de uma repartição  $\underline{a}$  leatoria de atomos entre as duas subredes que o constitue.

Se chamarmos P, a diferença entre o número de atomos magnéticos das - subredes A e B, este é da ordem de /N.

Podemos escrever

$$\bar{P}^2 = N \tag{21}$$

Portanto pode-se concluir que a magnetização espontânea de uma das sub redes é pouco mais forte que a da outra, aparecendo um momento resultante e consequentemente um ferrimagnetismo.

Vamos designar por u, o valor da magnetização espontânea relacionada a

um atomo, assim o grão possuira um momento magnético permanente Mg de intensida de  $P\mu$ , que está acoplado à direção  $\Delta$  do antiferromagnetismo do grão.

No segundo caso, grãos mais grossos, devemos considerã-los em duas categorias, se tomarmos em conta as faces.

- a) faces neutras que contenham cada uma mesmo número de  $\underline{\tilde{a}}$  tomos magnéticos de cada subrede, assim o momento re sultante de uma certa face deve ser nulo pelo cancelamento das duas subredes.
- b) faces ativas, que contenham assim somente átomos da subrede A ou B, o que portanto resulta num momento resultante não nulo.

Podemos imaginar um grão limitado por dois planos reticulares ativos. Com base nesta hipótese ocorrem duas  $\underline{e}$  ventualidades, conforme o número  $\underline{N}$  destes planos seja ou par ou impar.

No primeiro caso, o momento resultante total do grão - deve ser nulo, no segundo, as duas faces terminais serão de mesmo sinal, o que faz surgir um momento magnêtico resultante permanente M.

Segundo Néel, o momento M pode ser maior que aquele resultante de uma tiragem aleatória dos N átomos magnéticos entre as duas subredes, pois o número de átomos contidos na face terminal é de ordem de  $N^{2/3}$ .

#### b) O superparamagnetismo de grãos ultra finos

Se supomos que os atomos no grão se orientam com respeito a uma dada direção à de antiferromagnetismo e que esta é livre para se orientar em qualquer direção do espaço, ou, se as variações de energia que estão associadas a esta rotação são pequenas se comparadas com KT, o grãos, em presença de um campo exter-

no H , deve adquirir um momento magnético médio Mg dado por

$$Mg = Mg(\coth a - \frac{1}{a})^*$$
 (22) formula classica de Langevin com  $Mg = \rho\mu$  e  $a = Mg H/_{KT}$   $\rho = P$ 

Quando a variavel de Langevin a é pequena diante da unidade Mg é dado pela Lei de Curie:

$$Mg = \frac{C_A H}{T}$$
 onde  $C_A = \frac{M^2 g}{3K}$  ē a constante de Curie

O valor medio de 
$$C_A$$
, relativo a grãos de N atomos e igual a  $\frac{N\mu^2}{3K}$ 

Estamos então num problema de superparamagnetismo, igual ao que possuem os grãos ultra finos ferrimagnéticos, com um diâmetro da ordem de 50 A°.

Notamos acima que a constante  $C_{\widehat{A}}$  dependera do número N de atomos acondicionados no grão.

Um fato importante  $\bar{e}$  que Mg não  $\bar{e}$  mais constante no superparamagnetismo, variando com a tempertura de maneira importante. Este momento Mg  $\bar{e}$  proporcional a magnetização espontânea das subredes magnéticas;  $\mu$  varia de  $\mu_0$  =  $gj\mu_B$  no zero absoluto a zero na temperatura de Néel  $T_N$ .

Desta forma a constante de Curie varia de

$$C_{A} = \frac{N_{g}^{2} j^{2} \mu_{B}^{2}}{3K}$$

$$= a \text{ zero } para \quad T = T_{N}$$

$$(23)$$

Para efeito de comparação entre CA ao zero absoluto e a constante de Curie dos N ions magnéticos contidos no grão Cp, (supostos livres e sem intera -

ções):

$$C\rho = \frac{N_g^2 j(j+1)\mu^2 B}{2\mu}$$
 (24)

assim 
$$\frac{C_A}{C_O} = j(j + 1)$$

Num ensemble de grãos supostos de mesmo volume, ocorre uma saturação, com diferentes valores do campo, para diferentes grãos. O que ocorre é que os - momentos individuais dos grãos se dividem em torno do valor zero.

## c) Bloqueio da Orientação dos Momentos

A energia do grão mencionado deve depender da orientação de Δ.

Em grãos ultra finos, existem direções de energia minima, segun do as quais  $\Delta$  se orienta espontaneamente na ausência do campo exterior. Para  $\Delta$  (ou Mg), passar de uma dada orientação a outra, é necessário atravessar uma bar reira de potencial de intensidade  $\omega$ g.

O vencimento desta última pode ocorrer sob ação de flutuação térmica, ou mesmo de um campo exterior, mas o campo necessário para que isto ocorra deve ser pouco mais elevado que para o caso de grãos ferrimagnéticos como cita - Néel (neste último caso Mg H e wg são proporcionais ao volume do grão, ou ao número N de átomos magnéticos que o mesmo contém, ao passo que no caso de grãos antiferromagneticos, wg deve variar com N, enquanto Mg H não varia com √N, eq. 21 e 22). As flutuações térmicas fornecem um mecanismo eficaz para que seja ultrapassada a barreira.

Uma teoria muito simples, que é desenvolvida para grãos finos antifer romagnéticos, mostra que τ (tempo de duração média de Δ ou Mg em cada o - rientação) é da ordem de (5)

$$G = \frac{1}{\gamma} e^{\omega g/KT}$$
 (25)

onde  $\gamma$   $\tilde{e}$  da ordem de  $\omega g/_h$ 

Sendo porem esta uma função rapida da temperatura.

Para grãos de dada espessura, define-se uma região de tempertura ao redor de  $T_B$ , tal que, abaixo desta G cresce o suficiente para que o momento não mude mais ( $G \rightarrow \infty$ ).

Este valor  $T_{\overline{B}}$  é conhecido como TEMPERATURA DE BLOQUEIO e wg de ENER GIA DE BLOQUEIO.

Sabe-se  $^{(5)}$  que  $T_n$   $\bar{e}$  mais elevado quanto mais grosso o grão.

## d) Magnetização Thermoremannent

Vimos que, se resfriarmos o grão antiferromagnético num campo Ha,  $\underline{a}$  té uma temperatura abaixo de  $T_B$ , este adquire uma magnetização estável que sub siste a supressão do campo e não mais se modifica pelas posteriores variações do campo, se a temperatura se mantém abaixo de  $T_B$ . Essa magnetização possue ca racterísticas da magnetização thermoremannent média a  $T_B$ , quando a direção do antiferromagnetismo faz um ângulo 0 com Ma, é necessário remarcar que nem o campo magnético, nem as flutuações térmicas são capazes de separar o momento Mg, do grão , desta direção.

A componente MO, do momento magnético médio do grão na direção Ha é:

$$M\Theta = Mg_h + h (a_h \cos\theta) \cos\theta$$
 (26)

a<sub>b</sub> = Mg<sub>b</sub> Ha/<sub>KT</sub> é o valor da variável de Langevin a

 $T = T_h$ 

Para um ensemble de grãos idênticos e orientados ao acaso, o momento por grão  $\tilde{M}_b$   $\tilde{e}$  dado por  $^{(5)}$ 

$$\overline{M}g = Mg_b F(a_b)$$
 (27)

onde F(a) e uma função da variação de Langevin dada por

$$F(a) \int_{0}^{\pi} (2 + 1)^{\pi}$$
 th ( acos 0) cos 0 sen 0 d 0 (28)

quando a é pequeno, comparado à unidade

$$F(a) = \frac{a}{3} - \frac{a^3}{15} + \dots$$
 (29a)

quando a e grande, comparado a unidade

$$F(a) = \frac{1}{2} - \frac{\pi^2}{24a^2}$$
 (29b)

Estas fórmulas são as que se deve adotar quando estivermos na presença de uma anisotropia magnetocristalina uniaxial, para calcular a magnetização de um en semble de grãos, ao inves da (22) que só e aplicavel quando a anisotropia e nula.

'Se prosseguirmos abaixando a temperatura, ate um  $T_o$ , a proporção entre os grãos magnetizados num sentido e no outro não se altera mais , quaisquer que sejam as variações de H. O momento magnético permanente do grão varia de  $Mg_b$  a  $T = T_b$  para  $Mg_o$  a  $T = T_o$ .

A magnetização thermoremannent por grão é então dada por

$$M_{tr} = \bar{M}_b \qquad Mg_o / Mg_b$$
 (30)

onde M<sub>h</sub> e dado por (27)

Na saturação o momento é o momento médio e não a raiz quadrada do momento médio. Este está associado ao número N de átomos do grão e a seu momento individual à saturação por:

$$Mg_{o} = \sqrt{\frac{2N}{\pi}} \quad \mu_{o}$$
 (31)

Para grãos muito pequenos ~ 20A°, tal que sua temperatura de bloqueio seja próximo de zero absoluto, a medida que a temperatura abaixa, a sus ceptibilidade cresce até certa temperatura quando cai. Esta temperatura se explica pelo bloqueio progressivo dos momentos dos grãos (ver Fig. 11).

Deve-se levar em conta que o momento permanente Mg não pode ser con siderado constante no nosso caso, quando a temperatura é da ordem da metade da temperatura de Néel.

e) Argumentos Experimentais em favor de um bloqueio devido a uma energia de superfície

Se o bloqueio é devido a uma energia de volume,  $T_B$  deve variar com o mesmo, ou seja V; se é devido a uma energia de superfície, este deve variar com  $V^{2/3}$ . Segundo Néel os resultados experimentais são pouco precisos, porém - mostram que a variação de  $T_B$  é intermediária ou seja entre  $V^{1/2}$  e  $V^{2/3}$ , que está em favor de um bloqueio devido a energia de superfície.

No entanto se o bloqueio provem de uma energia de volume,  $T_B$  depende então apenas do volume V do grão. Os momentos magnéticos do grãos de volume V são bloqueados à temperatura  $T_B$  e o processo de magnetização thermoremannent não ocorre abaixo de  $T_B$ , ao menos com amplitude notavel (5). É o que ocorre nos estudos deste tipo em cerâmicas.

Em grãos de simetria cilíndrica  $T_R = 0$ .

I - Probabilidade de Transição

Se a diferença de energia entre dois estados  $\tilde{e}$   $E_i$  -  $E_j$ , então uma radiação de frequência  $\gamma$  absorvida ou emitida numa transição deve satisfazer

$$h\gamma = E_{i} - E_{j}$$
 (32)

Geralmente a intensidade desta transição ( de um estado descrito por  $\psi_i$  a um por  $\psi_i$ ) é dada por uma equação da forma

$$I \quad \alpha \quad \int \psi_{i} \quad \mu \quad \psi_{j} \quad d\tau \qquad (33)$$

onde µ e o operador momento de transição, que corresponde a di polos elétricos ou magnéticos (para transições dipolares)

O tipo mais comum de transição é a que envolve dipolo elétrico somen te, onde é suposto que as distribuições de cargas em dois estados devam diferir de modo correspondente ao dipolo elétrico. Tal transição pode sofrer um acopla mento com a radiação eletromagnética por interação com o vetor É oscilante, transferindo energia para o campo eletromagnético ou mesmo recebendo deste.

O operador µ tem a forma

$$\mu = \sum_{i} e_{i} x_{i} + \sum_{i} e_{i} y_{i} + \sum_{i} e_{i} z_{i}$$
 (34)

onde e e a carga da iésima partícula e x ,y e z , as coordenadas cartesianas Assim, 33 se transforma em

$$I_{\mathbf{x}} \propto \int \psi_{\mathbf{i}} \times \psi_{\mathbf{j}} d \epsilon$$

$$I_y \propto \int \psi_i \dot{y} \psi_j dc$$
 (35)

$$I_z \alpha \int \psi_i z \psi_i dc$$

Desta forma para decidirmos quando uma transição dipolar elétrica é permitida, so é necessário saber se alguma das integrais (35) difere de zero.

Para casos de elevada simetria molecular, x e y formam uma base para uma representação irredutível; as integrais envolvendo x e y se tornam dependentes e se ambas são diferentes de zero a transição é dita polarizada segundo xy. Em casos com algum tipo de alta simetria (como point groups T,Th,Td, 0,0h, I, Ih; apêndice III), quando x,y,z formam bases para uma representação trimendisional, não existem efeitos de polarização.

Numa forma geral, uma transição dipolar eletrica com polarização x , y ou z, so ocorre se o produto das representações do estado final e inicial é ou contem a representação irredutível a qual pertecem x,y ou z.

Isto se reduz ao fato de que o produto  $\psi_i$   $\psi_j$  deve se transformar frente as operações do grupo da mesma forma que X ( no caso  $I_{\mathbf{X}} \alpha \int \psi_i \mathbf{x} \psi_j d\epsilon$ ) resultando em  $\int \psi_i \mathbf{x} \psi_j d\epsilon \neq 0$ .

#### II - Orbitais d

Podemos utilizar um conjunto de cinco funções de onda como uma base para a representação do point group num meio particular, com intuito de determinar o modo pelo qual este conjunto de orbitais de sofrem alterações, causa das pelo meio.

Suponhamos o caso de simetria completa do octaedro (Oh). Pode-se obter informações sobre os orbitais d, usando o subgrupo rotacional O, uma vez que Oh é obtido de O, adicionando a inversão i (Ap. II) .

A função de onda para um eletron simples, por exemplo, num atomo de hidrogênio é:

Assumimos que  $\psi$ s  $\tilde{e}$  inteiramente independente das funções orbitais,  $R(\gamma)$   $\tilde{e}$  invariante em operações no "point group", assim como  $\Theta$   $(\Theta)$ .

Então somente  $\emptyset$  ( $\emptyset$ )  $\vec{e}$  alterada pela rotação. Se  $\emptyset(\emptyset) = e^{in \ \emptyset}$ 

e os orbitais <u>d</u>, aqueles em que <u>m</u> toma os valores  $\ell$ ,  $\ell-1$  ..., 0,  $1-\ell$ ,  $-\ell$  (m=2,1,0,-1,-2), ao tomarmos  $\emptyset$  e efetuarmos uma rotação de ângulo  $\alpha$  esta se torna  $e^{im(\emptyset + \alpha)}$ , ou seja

I			II
2 <sub>i</sub> Ø		,	2 <sub>i</sub> (Ø+α)
e <sup>iØ</sup>	rotação	•	e <sup>i(Ø +α)</sup>
	. de		
eo	<u> </u>		e <sup>o</sup>
e-10			e <sup>-i(Ø+α)</sup>
$e^{-2}i^{\emptyset}$			$e^{-2}i^{(\emptyset+\alpha)}$

onde a matriz necessária para produzir esta transformação é

$$e^{2}i^{\alpha} \qquad 0 \qquad 0 \qquad 0 \qquad 0$$

$$0 \qquad e^{i\alpha} \qquad 0 \qquad 0 \qquad 0$$

$$0 \qquad 0 \qquad e^{0} \qquad 0 \qquad 0$$

$$0 \qquad 0 \qquad 0 \qquad e^{-i\alpha} \qquad 0$$

$$0 \qquad 0 \qquad 0 \qquad e^{-2}i^{\alpha} \qquad 0$$

Se nos referirmos a tabela de caracteres do grupo O(Ap.III), a representação derivada se reduz a  $E+T_2$  ou seja

0	· <b>E</b>	<sup>6</sup> c <sub>4</sub>	<sup>3</sup> c <sub>2</sub> ₅	<sup>8</sup> c <sub>3</sub>	$^6c_2$	Σορ = 24
d	5	-1	1	-1	1	
A <sub>1</sub>	1	1	1 -	1	1	
A 2	1	-1	1	1	-1	
E	2	0	2	-1	. 0	
<sup>T</sup> 1	3	1	-1	0	-1	
T,	3	-1	-1	0	1	

Onde para o nivel do tipo d num meio octaedral, a soma dos elementos da diagonal  $\chi(\alpha) \ \bar{e}$ 

$$\chi(\alpha) = \frac{\operatorname{sen}(\ell+1/2)}{\operatorname{sen} \alpha/2}$$

$$\alpha \neq 0$$
(37)

que determina os caracteres ou seja

$$\chi$$
 (C<sub>2</sub>) corresponde a rotação dupla ou  $\approx 10^{-10}$ 

$$\chi$$
 (C<sub>2</sub>):  $\frac{\sin^{-10}/2}{\sin^{-10}/2} = \frac{1}{1} = 1$ 

 $\chi$  (C<sub>3</sub>) e  $\chi$  (C<sub>4</sub>) para rotação tripla e quadrupla

Assim

tipo de nível 
$$\chi$$
 (E)  $\chi$  (C<sub>2</sub>)  $\chi$  (C<sub>3</sub>)

d 2 5 1 -1

Para encontrar as componentes irredutíveis de  $\underline{d}$  projetamos d sobre cada representação irredutível.

Os produtos diretos se reduzem como

$$d \times A_1 = 5 - 6 + 3 - 8 + 6 = 0$$

$$d \times A_2 = 5 + 6 + 3 - 8 - 6 = 0$$

$$d \times E = 10 + 6 + 8 = 24 \neq 0$$

$$d \times T_1 = 15 - 6 - 3 - 6 = 0$$

$$d \times T_2 = 15 + 6 - 3 + 6 = 24 \neq 0$$

E; 
$${}^6C_4$$
,  ${}^3C_2$ ,  ${}^8C_3$ ,  ${}^6C_2$ ; 24 operações

N (E) = 
$$\frac{24}{24}$$
 = 1  
N (T<sub>2</sub>) =  $\frac{24}{24}$  = 1

Logo  $d = T_2 + E$ 

No grupo Oh nos temos

$$\Gamma = T_{2g} + E_{g}$$

ou seja, as funções d são simétricas frente a uma operação inversa.

O conjunto das cinco funções de onda d, que são degeneradas no caso de fon livre( sob condições de simetria esférica) não permanece degenerada quan do o mesmo é colocado num meio com simetria Oh. As funções de onda sofrem um split num conjunto  $T_{2g}$  e  $E_g$  dupla e triplamente degenerado.

III - Construção do Diagrama de Niveis de Energia

As energias relativas do conjunto de orbitais d dupla e triplamente degenerados em que estes são quebrados em configurações octaedrais e tetraedrais são mostrados na figura abaixo.

Se existir somente um eletron d num ion em configuração octaedral,o

mesmo deve ocupar um dos orbitais  $t_{2g}$  sendo  $\Delta_{o}$  a energia para promovê-lo a um orbital  $e_{o}$ .

O mesmo ion numa configuração tetraedral terã o eletron ocupando o orbital  $\underline{e}$  , assim a energia para transferi-lo será  $\Delta t$ .

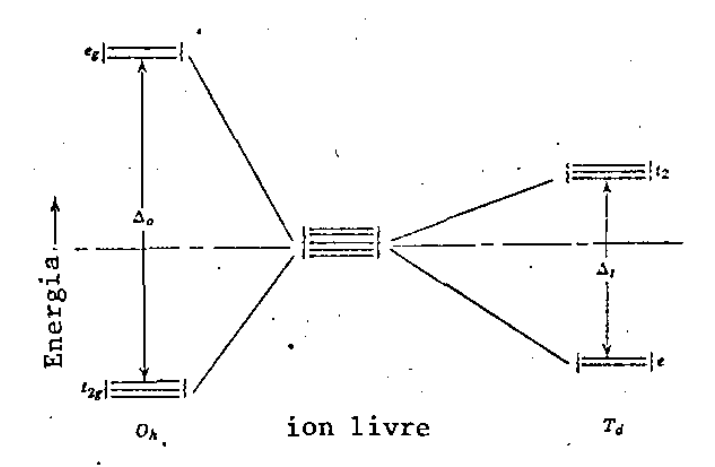


Fig. 15 Energia relativa dos orbitais e e  $t_2$ , que resultam do split do conjunto de orbitais  $\underline{d}$ , por simetrias octae dral e tetraedral.

Um diagrama de níveis de energia deverá mostrar a energia dos vá rios estados, nos quais os termos do ion livre são quebrados, dependendo da
força de interação do ion com o meio.

Este diagrama deve indicar na abcissa a intensidade de  $\Delta_0$  ou  $\Delta t$ , ou seja ao lado direito  $\Delta_0$  ou  $\Delta t$  devem ser zero pois temos a energia do ion li vre. Ao lado direito, no caso de forte interação entre o ion e o meio, as energias dos estados existentes quando a interação produz separação entre os orbitais e e  $t_0$ .

No caso particular de um ion d<sup>2</sup> numa configuração octaedral, pode-se explicar facilmente a construção do diagrama de niveis de energia.

Para o ion livre, em ordem de energia crescente temos:

$$3_F$$
  $1_D$   $3_P$   $1_G$   $1_S$ 

No limite de separação muito grande (dos orbitais d), três configurações serão possíveis (Fig. 16).

$$t_{2g}^2$$
  $t_{2g}$   $e_g^2$ 

Onde  $t_{2g}^{-2}$  - ē a configuração onde ambos os eletrons estão nos orbitais  $t_{2g}$ 

 $t_{2g}$   $_{g}$  - a configuração na qual um eletron está no or bital  $t_{2g}$ , enquanto o outro está no  $e_{g}$ 

 $e_{g}^{2} - a \; configuração \; na \; qual \; ambos \; eletrons \; estão \\ em \; orbitais \; e_{g} \cdot (configuração \; de \; mais \; alta \; energia).$ 

Se relaxarmos a forte interação entre o ion e a configuração, ocorre um acoplamento dando razão a um conjunto de estados (Fig. 16). As propriedades de simetria destes podem ser determinadas, tornando-se os produtos das representações dos eletrons simples.

Ou seja, para a configuração  $t_{2g}^2$ , tomamos o produto  $t_{2g} \times t_{2g}$ , de compondo-o em:

Oh E 
$${}^{8}c_{3}$$
  ${}^{6}c_{2}$   ${}^{6}c_{4}$   ${}^{3}c_{2}$  Apendice II  $t_{2g}$  3 0 1 -1 -1  $t_{2g} \times t_{2g}$  9 0 1 1 1

$$t_{2g} \times t_{2g} = A_{1g} + E_g + T_{1g} + T_{2g}$$
 Apendice II

Da mesma forma

$$t_{2g} \times e_g = T_{1g} + T_{2g}$$

$$e_g \times e_g = A_{1g} + A_{2g} + E_g$$

Estas são as simetrias dos estados produzidos pelas interações dos eletrons.

É importante que mesmo interações infinitamente fortes ou menos - fortes não alteram a propriedade de simetria das funções d $^n$ , para o caso do campo octaedral. Antes e apos o split as mesmas são do tipo  $\underline{g}$ .

Para pensarmos na multiplicidade de spin dos estados, devemos considerar os dois eletrons.

configuração 
$$t_{2g}^{2}$$

consideramos os níveis t<sub>2g</sub> como um conjunto de seis

caixas

$$s = 1$$

$$s = -1$$
degenerescência de spin = 2
$$degenerescência orbital = 3$$

O número de maneiras em que os (dois) eletrons podem se arranjar nestas  $\tilde{e}$  6 x 5/2, onde o 2 no denominador leva em conta a indistinção dos eletrons. Assim a degenerescência total da configuração  $t_{2g}^2$   $\tilde{e}$  15.

Decrescendo o campo, dando razão a orbitais separados  $A_1g$ ,  $E_g$ ,  $T_{2g}$  e  $T_{2g}$ . A degenerescência total permanece 15.

Assim escrevemos

$$t_{2g} \times t_{2g} + a_{A_{1g}} + b_{E_{g}} + c_{T_{2g}} + d_{T_{2g}}$$

como a degenerescência total é 15

$$1a + 2b + 3c + 3d = 15$$

onde a,b,c e d devem ser ou 1 ou 3.

Temos então 3 soluções

	а	-	Ъ	c	ď
I	1	•	1	1	3
II	1		1	3	1
III	3		3	1	1

Similarmente para a configuração  $e_g^2$ , temos dois eletrons que podem ocupar quatro (4 x  $\frac{3}{2}$  = 6) maneiras distintas

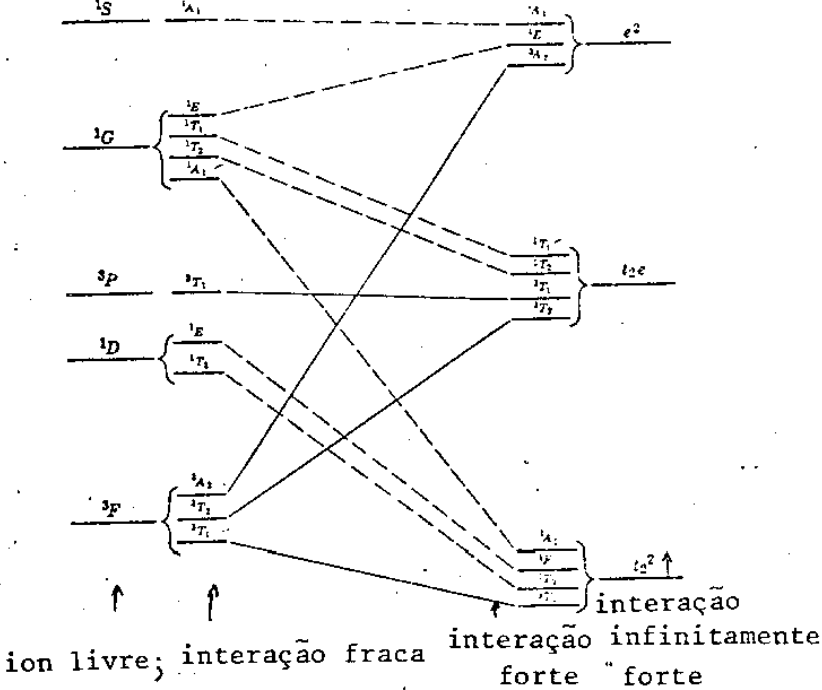
$$e_g \times e_g = {}^{a}A_{1g} + {}^{b}A_{2g} + {}^{c}E_g$$
 $1a + 1b + 2c = 6$ 

Para a configuração t<sub>2g</sub> e<sub>g</sub>, podemos colocar um eletron numa das seis caixas, enquanto o segundo ocupa uma das quatro, dando um total de arranjos de 24. Existe a possibilidade de dois eletrons ocuparem a mesma caixa, es tando seus spins pareados ou não.

Assim todos os estados  $T_{1g}$  e  $T_{2g}$  derivados desta configuração podem ser singlets ou triplets. Ou seja a configuração  $t_{2g}$  e  $t_{2g}$ 

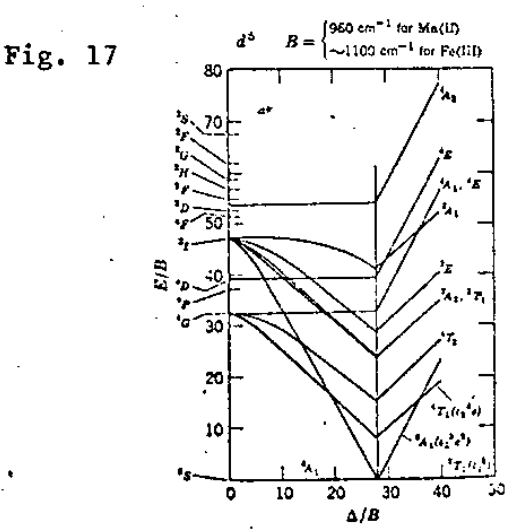
Na Fig. 16, temos no extremo esquerdo os estados do ion livre, a direita os estados quebrados do ion livre sob influência da configuração octaedral infinitamente forte.





Vemos que, enfraquecendo o campo infinitamente forte aparecem os estados que são todos do tipo g.

Na Fig. 17, os diagramas de niveis de energia para configuração do ti



Ao inves de unidades absolutas para a ordenada e abcissa, que res tringe o uso do diagrama a um caso específico, a unidade de energia é tomada
com relação ao parâmetro de repulsão intereletronica 8.

IV - Relação entre o diagrama de níveis de energia e as propriedades mag néticas e espectrais

Os espectros de transições visíveis e ultravioleta de ions metáli - cos de transição, são devidos a transições do ground state, aos vários estados excitados ( ou vice-versa), como ilustrado na Fig. 17.

Em primeira análise, estas transições são proibidas pelas regras de seleção, aparecendo fracamente por causa da quebra destas em aproximações mais elevadas.

# V - Regras de Seleção

Num complexo que possue centro de simetría e tem eletrons d<sup>n</sup> (por exemplo coordenação octaedral), todos os estados que surgem da configuração d<sup>n</sup>, são descritos por funções de onda  $\psi_{\alpha}$ .

Sabendo que os vetores momento de dipolo pertencem a uma representação impar, as integrais

$$\int \psi_{g}^{\dagger} \chi \psi_{g} = d\tau$$

são nulas, uma vez que as  $\psi$  são simétricas se o grupo possui centro de inversão, como no caso Oh.

Com esta base, nos podemos predizer que as transições entre os varios estados surgidos de configurações d<sup>n</sup> com simetria octaedral, devem ter intensidade nula. Porém estas transições podem aparecer e são observadas, indicando que algum mecanismo deixou de ser observado.

De um modo geral, o que ocorre é que de alguma forma, (por vibrações etc.) a configuração octaedral tem o seu centro de simetria destruido.

Numa configuração d<sup>n</sup> com simetria octaedral, ou seja que possui - centro de simetria, todos os estados surgidos revelam funções simetricas do tipo g. Como os vetores momento de dipolo pertencem a sua representação impar, todas as integrais do tipo

são nulas, porque o produto direto de duas funções g não pode ser expandido numa representação do tipo µ.

Se o centro de simetria  $\tilde{e}$  destruido  $\psi'e$   $\psi$  não mais são simétricos a integral se torna diferente de zero.

## 0 Experimento

Objetivo

O principal objetivo da experiência, foi a obtenção do comportamento do espectro de luminescência do  ${
m M_N}^{2+}$ , no vidro magnético contendo  ${
m M_N}^0$ ,  ${
m Al}_2{
m O}_3$  e  ${
m Sio}_2$  nas regiões de temperatura: 2  ${
m ^OK}$  a 90  ${
m ^OK}$ , visando verificar as altera - ções no mesmo devido as mudanças causadas por ordenamento

#### Componentes

## 1 - Dewar Principal

O dewar principal, adquirido a Janis Research Company é basicamente composto de dois cilindros de alumínio, possuindo diferentes diâmetros, e con - cêntricos, de tal forma a permitir acondicionamento do nitrogênio líquido, blin dando termicamente o reservatório de Hélio, juntamente com uma camada de vácuo.

A amostra fica imersa em Helio líquido, podendo ser excitada pelo laser por uma das quatro janelas.

- 1-o controle e variação de temperatura na amostra Como este dewar e de imersão, podemos dividir a parte operacional em:
  - i) amostra imersa em Hēlio líquido
     Este procedimento nos fornece temperaturas de ~ 20°K
     a 2,0 °K, cuja variação pode ser controlada alterando-se a pressão do reservatório de He.
  - Também pelo controle da pressão no reservatorio da <u>a</u>
    mostra e ajustando-se uma corrente no heater, pode -

mos obter uma variação de temperatura ajustável.

2 - Dewar com fluxo contínuo de He, adquirido da Oxford Instruments Co.

ii) amostra em Hélio gasoso

Este criostato é do tipo "dedo frio", ou seja ao contrário do anterior a amostra não fica imersa em He, mas sim em contacto com uma haste do recepiem te onde o líquido refrigerante está acondicionado. O mesmo é acompanhado de um sensor térmico, previamente calibrado, sendo o controle de temperatura efetuado pela razão de bombeamento do Hélio ao seu reservatório. Seu sensor foi utilizado como medida padrão para realizarmos medidas de temperaturas em toda a região de trabalho. Suas vantagens são relevantes, pois nao necessita de nitro gênio para blindagens térmicas, sendo de pequeno tamanho, o que facilita o alí nhamento óptico. Não requer pre resfriamento e uma vez isolado por um vácuo de contro de levar a amostra a 8 o me mouco tempo. A maior desvantagem é gastar muito Hélio a baixas temperaturas.

Para temperaturas não muito baixas (~8 °K) consegue-se controlar o fluxo de He, sendo que a mesma permanece estavel durante o tempo de tomada dos espectros.

O desvio de temperatura, lido em um multimetro digital não proporcio

nou precisão menor que 4 <sup>o</sup>K, porem a baixas temperaturas ( < 8 <sup>o</sup>K) a leitura foi significativamente melhorada

#### 3 - Dewar de fluxo de nitrogenio

Consiste de um reservatório de vidro, isolado por vácuo permanente e com paredes espelhadas. O nitrogênio líquido é bombeado a este quando eleva mos a pressão em um criostato de acondicionamento. A temperatura é alterada com a variação do fluxo e medida com um termopar.

Sua principal função é localizar o sinal de luminescência optimizam do-o, pois a mesma se eleva com a queda de temperatura, como veremos adiante. Após este procedimento, a temperatura é elevada e o sinal decrescido pode ser localizado.

## 4 - Dewar de nitrogênio tipo "dedo frio"

Possui uma haste de cobre em contacto com o reservatorio de nitro - gênio. Um termopar nos permite determinar a temperatura.

#### Alinhamento Optico

Como fonte de excitação foi utilizado um laser Ar Coerent Radiation modelo 52, sintonizado no comprimento de onda 4880 A<sup>o</sup>, cuja energia coincide com a asa do espectro de absorção típico de amostras de Mn. 2+. A sua radiação não estimulada foi desviada com auxílio de um prisma, colocado a saída da radiação luminosa. Um fotodiodo monitorava a potência do laser registrando na graficadora.

A potência usada foi de 600 mW ± 10 mW em todos os espectros.

Espelhos de alumínio evaporado, foram presos a suportes com parafusos micrométricos, nos proporcionando extrema facilidade de alinhamento externo. Um diafragma reduzia a largura do feixe e uma lente de f = 50 mm, montada em um xyz, focalizava a radiação do laser na amostra dentro do dewar.

O espectrômetro SPEX, selecionava os comprimentos de onda, medidos em intensidade pela fotomultiplicadora RCA C 31034 128 GaAs, que eram regis

trados em energia e magnetude pela registradora 7100 BM da HewlethPackard.

Um eletrômetro da Keithley Instruments, nos permitiu trabalhar com fundos de escala convenientes, no que diz respeito a intensidade do sinal de emissão luminosa.

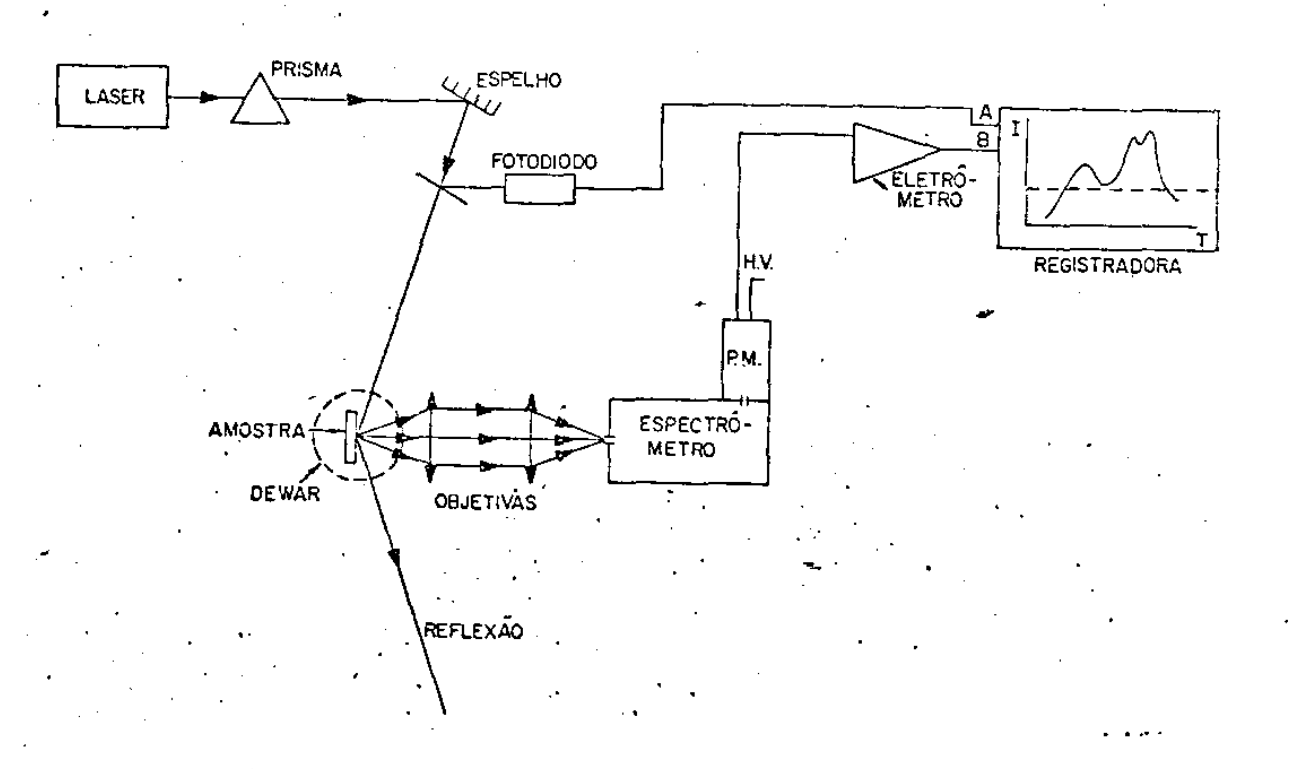
## Procedimento Experimental

A focalização na amostra, era feita de tal modo a obter reflexão do laser fora do ângulo sólido captado pela objetiva, evitando danos em grades e ao mesmo tempo interferência luminosa dentro do espectrômetro. Somente a radiação espalhada foi recolhida.

A cada temperatura com potência do laser constante, tiramos um espectro de luminescência.

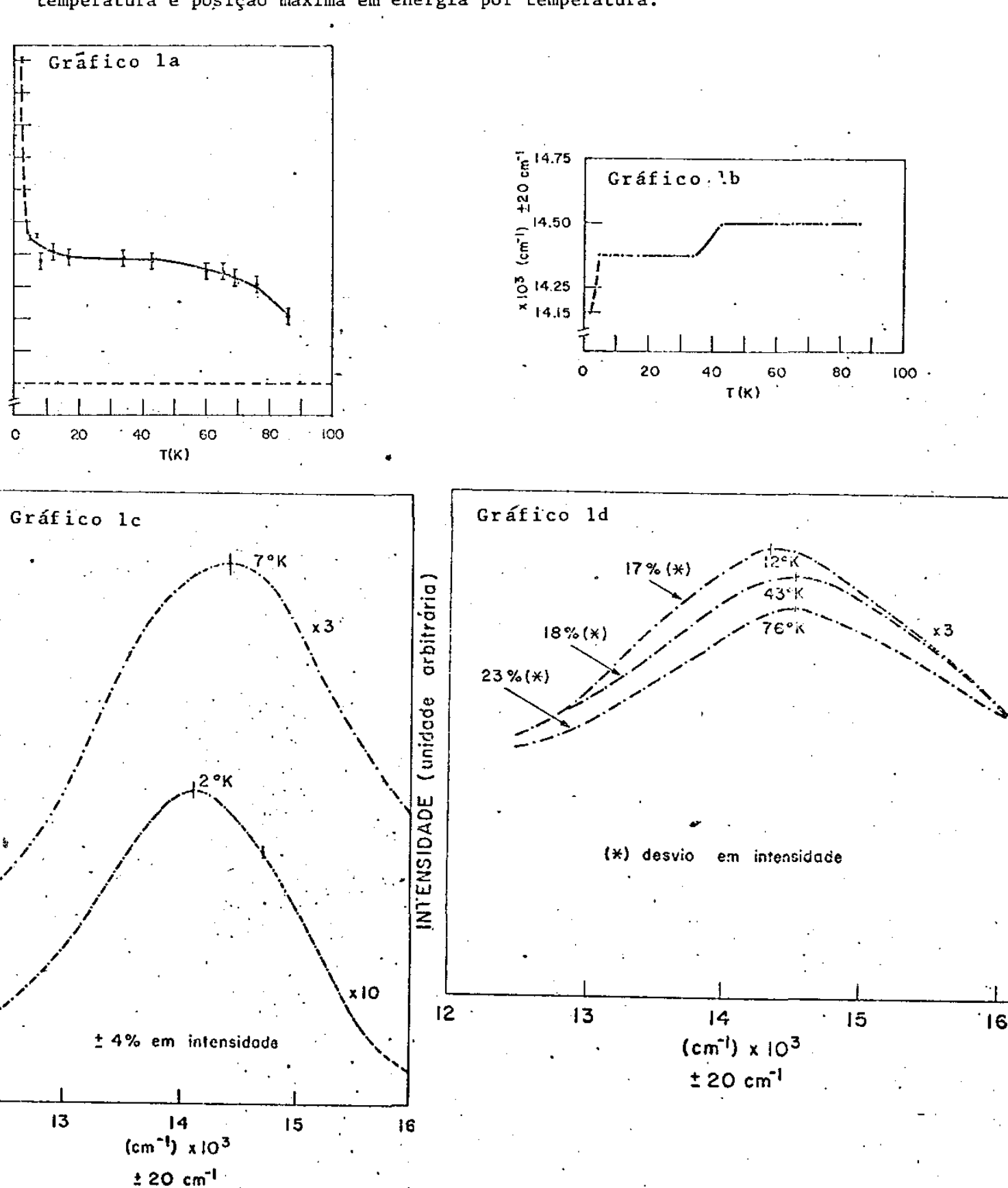
As medidas de intensidade do máximo da emissão e das posições do -

## Montagem para Luminescência



Apresentação dos Resultados

A seguir os gráficos de intensidade de máximo da Luminescência por temperatura e posição máxima em energia por temperatura.



Os espectros de luminescência foram observados na região 12000 cm<sup>-1</sup>

As alterações importantes podem ser resumidas em:

Como está ilustrado em la e lb, existe um shift da energia do máximo do espectro de luminescência para baixa energia de intensidade da ordem de  $\Delta E \sim 125$  cm<sup>-1</sup>.

A intensidade do máximo da banda experimenta uma - suave elevação, continuando com o decrescimo de temperatura até ~ 20 °K.

# II - Região 2 OK - 20 OK

- Um novo shift ocorre, também para energia decrescente embora mais acentuado, da ordem de  $\Delta E$  - 225 cm  $^{-1}$ .

A intensidade da banda de emissão de cor se eleva a pricípio lentamente perto de 20  $^{6}$ K para depois bruscamente atingir valores eleva e vados por volta de 2  $^{0}$ K.

Os valores de ΔE encontrados estão acima da energia de ordem antiferromagnética somente, (~ 50 cm<sup>-1</sup>) (8) e a variação em intensidade na região
II é grande para ser explicada em termos da diminuição da vibração térmica pelo decrescimo de temperatura, que é utilizada para explicar o mecanismo de aumento de probabilidade de transição radiativa.

Estes resultados em vidros magnéticos podem ser comparados aos de  $^{(7,8,9)}$  no campo de cristais tipo  $^{Mn}F_2$ ,  $^{K}$   $^{Mn}F_3$  e  $^{R}$   $^{b}$   $^{Mn}F_3$  (Fig. 5 a 8).

Este confronto aliado aos resultados de Graaf<sup>(10)</sup> para esta classe de vidros (Fig. 10,11 e 14), sugerem interpretações pioneiras em vidros magnéticos, baseadas no espectro de luminescência do ion manganês, uma vez que existe coerência entre as temperaturas de bloqueio magnético e ordenamento de cur to alcance evidenciados por de Graaf<sup>(37)</sup>, tipicamente previstas por Néel<sup>(5)</sup> pa

ra partículas finas antiferromagnéticas e nossos resultados experimentais.

## Esboço do Modelo

Vamos assumir os resultados de de Graaf (10,37), tanto em microscopia eletrônica e raio X, juntamente com suas medidas de calor específico, susceptibilidade magnética e outras (10,37...) em amostras similares a nossa.

Os dados de raio X e microscopia eletrônica evidenciaram pequenas regiões no vidro magnético de alta concentração de Mn, cerca de 9 Mn num volume de  $10^3~{\text{A}}^{03}$ ), separado por uma fase de menor densidade de lons magnéticos.

Podemos idealizar o vidro magnético como composto por glóbulos esféricos separados por uma segunda fase.

Dados de susceptibilidade magnética fornecem<sup>(10)</sup> informações sobre o arranjo nos monodomínios com a temperatura, evidenciando fortemente as três fases magnéticas (Fig. 10 e 11). E em adição a este, outro trabalho de de Graaf<sup>37</sup> nos informa sobre o arranjo dos momentos resultantes no monodomínio abaixo de 30 °K.

## a) raio X e Microscopia eletrônica

Foram localizados os monodomínios com alta concentração de  ${}^{M}_{N}$ , separados pela fase menos densa. O formato destes foram observados como sendo esferoides, comprovando ser uma fase amorfa.

b)As medidas  $\chi^{-1}$  x T (Fig. 10 e 11) mostraram três regiões distintas de - temperaturas, onde a susceptibilidade acima de 50 °K era identica a provocada - por um cristal com interações ferrimagnéticas ou antiferromagnéticas, para de - pois abaixo de 50 °K, ter um comportamento superparamagnético chegando a uma - transição para um estado do tipo antiferromagnéticante ordenado a - 3 °K.

c) Foram localizados campos dipolares, oriundos dos monodominios, que cresciam a partir de ~ 30 °K para baixa temperatura, dados que coincidem com as medidas de calor específico.

A estas informações necessitamos adicionar a teoria de Neel para par tículas finas antiferromagnéticas (Cap. IV). Segundo Neel, um grão fino antiferromagnético possui um momento M<sub>g</sub>, que e resultante de imperfeita compensação dos momentos iônicos dentro do - grão. Este momento e livre para se orientar, possuindo cada um seu eixo Δ de magnetização. Acima de certas temperaturas a energia termica e suficiente para destruir o arranjo interno nos clusters.

O monodominio ordenado, adquire uma direção \( \Delta\) que \( \bar{e}\) livre para se \( \overline{o}\) rientar, possuindo um tempo m\( \bar{e}\) dio de duração

$$\tau = \frac{1}{Y} e^{\omega g} / KT \quad (4)$$

Após, quando a temperatura é suficientemente baixa, os momentos resultantes sofrem um bloqueio quando ocorre o pico na susceptibilidade a  $\sim$  3  $^{\rm O}$ K.

Pela Fig. 14, notamos o aumento dos campos dipolares dos monodomínios se iniciando a ~ 30 °K, simultanemanete o superparamagnetismo denotado nos - gráficos das Figs. 10 e 11 coerentemente revelam um intervalo, onde interações de longo alcance se iniciam culminando no bloqueio a ~ 3°K.

Todo o comportamento experimental pode ser satisfatoriamente explica do se construirmos o arranjo estrutural do vidro magnético tomando como referência os dominios magnéticos e analisando-os com auxílio da teoria de Néel.

Partindo-se de um arranjo de 8 esferoides um em cada vertice de um cubo de lado  $\underline{a}$  e cada um com volume de  $10^3~\mathrm{A}^{03}$  com 9 Mn em cada um e

			300	7300g
•		<u> </u>	40 Mn	2220g
	•		80 O	1280g
	٠.		60 0	960g
20%	A1203		40 Si	1120g
40%	sio <sub>2</sub>	ou	40 Al	1080g
40%	Mn O	•	40 0	- 640g

$$d_{\text{amostra}} = 2,24 \text{ g/m1}$$

$$\sqrt{\text{amostra}} = \frac{7 \cdot 300}{224} \text{ m1}$$

1 mol - 56g de Mn - 
$$6.02 \times 10^{23}$$
 At Mn

em 7 300g - 640 g de Mn

$$d Mn = \frac{2 200g}{7 300g} \times 2,24 \text{ ml} \approx 0,68 \text{ g/ml}$$

$$1 \text{ ml} = 10^{24} \text{ A}^{03}$$

$$56 \text{ g} - 6,02 \times 10^{23} \text{ at Mn}$$

0,68 - 
$$x = 0.073 \times 10^{23}$$
 at no volume  $10^3 A^{03}$  temos  
 $0.073 \times 10^{23}$  at em  $10^{24} A^{03}$  no volume  $10^3 A^{03} \sim 7$  at de Mn

Este cálculo dá ideia da densidade media de ions Mn<sup>2+</sup> fora e dentro dos mondominios.

Como existem  $9\,\mathrm{Mn}^{2+}$  em cada cluster, então quanto maior a quantidade de monodomínios em dado volume menos densa em  $\mathrm{Mn}^{2+}$  a segunda fase e menor sua contribuição à luminescência.

A medida que a distância entre monodominios aumenta, maiores os efei tos observados provenientes de ions manganês na entre-fase. Como a luminescência fornece dados sobre um volume, ao contrário do magnetismo (neste caso somente em interações de longo alcance), devemos considerar num modelo todos os ions Mn 2+ numa media.

## Conclusões

Observando os gráficos la e 1b, onde temos medidas a intensidade e a energia de pico da luminescência do Mn $^{2+}$  na composição vítrea MnO, Al $_2$ O $_3$ , SiO $_2$ , notamos dois shifts em energia da ordem de ~ 125 cm $^{-1}$  a 30  $^{\circ}$ K e ~ 225 cm $^{-1}$  a ~3  $^{\circ}$ K, o segundo acompanhado do brusco aumento na intensidade, se iniciando a ~ 20  $^{\circ}$ K.

Assumimos, de acordo com resultados de outros autores que o manganês se encontra numa coordenação octaedral, pela cor vermelha característica desta espécie, que é encontrada na luminescência de nossa amostra (Fig. 4)

O shift em energia a 3 K é satisfatoriamente explicado se levarmos em conta as interações de longo alcance previstas por Néel quando as direções Δ de orientação nos monodomínios antiferromagneticamente ordenados (10) experimentam um bloqueio (5). A ordem de grandeza de deslocamento do máximo da luminescência (~225 cm<sup>-1</sup>) é cerca de cinco vezes maior que as comumentes verificadas por uma simples transição antiferromagnética (7,8,9) mas comparável - aos shifts por contração na rede, quando o parâmetro desta é de alguma forma variado (26).

Holloway (7,8,9), levou em conta o ordenamento magnético como uma fonte de distorção local da rede. A variação em energia do máximo da banda de emissão de cor, segundo o autor, ocorre como consequência do ordenamento, alterando o parâmetro de campo cristalino (Fig. 17,, Cap. V) do manganês, aumentando o campo onde este ion luminescente se encontra.

Se supomos os monodomínios como fontes locais de campo de deslocação, quando há interação de longo alacance, (ou seja intermonodomínio) este cluster de ve.experimentar uma contração anisotrópica de procedência magnética, criando um campo de deslocação da forma:

$$I \qquad \overline{U} = \frac{P}{4 \pi (\lambda + 2\mu)} \frac{1}{r^3} \left| \left\{ \frac{3\lambda + 5\mu}{6\mu} \left( 3 \cos^2 \theta - 1 \right) \widehat{r} - \widehat{\sigma} \cos \theta \sin \theta \right\} + \frac{\widehat{r}}{r} \right|$$

idêntico ao provocado por um conjunto de defeitos não esféricos incrustrados nu ma esponja.

Este campo Ū tem um comportamento importante com a direção atuando sobre os ions Mn<sup>2+</sup> na 2<sup>a</sup>. fase resultando numa contração uniaxial ao redor de cada defeito (monodomínio) que estão ordenados a esta temperatura.

Este mecanismo altera assim o campo cristalino onde se encontra o Mn<sup>2+</sup>.

Observando o diagrama de níveis das Fig 17, notamos que a transição responsável pela luminescência  $4G \rightarrow {}^6S$  (\*), decresce em energia quando o parâmetro de campo cristalino aumenta .

Ainda nesta região, notamos um aumento na intensidade da luminescência começando a ~- 20 °K para crescer bruscamente até 2 °K.

Este comportamento é explicado se verificarmos a dependência das regras de seleção com a simetria.

Quando o manganês em coordenação octaedral se contrai anisotropicamente, este octaedro pode ser deformado quebrando a simetria e permitindo as transições (4). Cap. V (Fig. 18).

Quando ha quebra da simetria da coordenação em que se encontra o Mn<sup>2+</sup> (Fig. 18) uma transição proibida anteriormente pode passar a existir.

De uma forma geral, se analisarmos a integral

 $\int \psi_g^* \chi \psi_g^* d\tau$ , que da a intensidade de transição dipolar elétrica, observamos que, se o momento de dipolo elétrico pertence a uma representação impar, esta integral se anula pois as funções  $\psi_g$  são simétricas (no caso da simetria octaedral). Esta simetria da função ocorre devido a presença do centro de inversão.

No caso da configuração de simetria octaedral se submeter a campos anisotropicos, surge uma distorção que pode destruir o centro de inversão (Fig. 18),

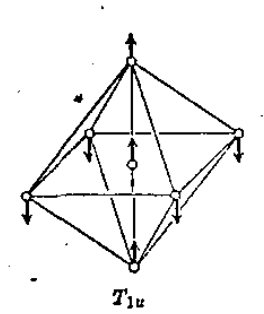
(\*) 
$$4G (4 T_{1g}) + {}^{6}S({}^{6}A_{1g})$$
 (7) (26-a)

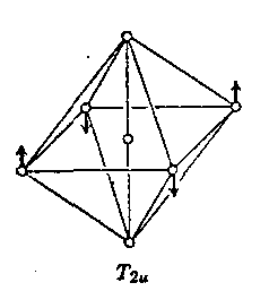
fazendo com que  $\psi$  não apresente simetria com respeito ao centro de inversão . Assim  $\tilde{\epsilon}$  possível escrever a representação do produto  $\psi'$   $\psi$ , numa base que contenha a do operador momento de dipolo e a integral:

Estas transições tem assim intensidade não nula , explicando o aumento da luminescência a esta temperatura.

Em resumo, o ordenamento a 3 <sup>o</sup>K, por ter características anisotrópicas, quebra o centro de inversão do octaedro por distorção, modificando a regra de seleção com consequente aumento na intensidade da luminescência. Este processo causa o shift em energia, justamente pela magnetostrição que altera o parâmetro de campo cristalino.

Fig 18
Duas das vibrações
normais de uma molécula AB<sub>6</sub>, na qual
os deslocamentos dos átomos destroem
o centro de simetria.





Na região do 2º shift ~ 30 °K, os dados de susceptibilidade e a teoria de Neel, nos levam a concluir que existe o início de um superparamagnetismo, provocado pelo momento resultante de cada monodomínio (M ou Δ) antiferromagnetica — mente ordenado.

Segundo Néel, o ordenamento de curto alcance em grãos de pequeno diâmetro, provoca um momento resultante em cada grão, que é livre para se orien tar no espaço, estando sujeito às flutuações térmicas e possuindo um tempo médio de duração no espaço

$$z = \frac{1}{Y} e^{\omega_g/KT}$$

muito curto, ocupando posições, independente dos outros monodomínios.

O antiferromagnetismo ocorre em pequena escala, e a contração é provocada por um campo de deslocação da mesma forma que (I), porém menos intenso
por causa da ordem de energia térmica a esta temperatura.

Os ions Mn<sup>2+</sup> no volume da 2. fase vão sentir este campo, respon - dendo com uma contração anisotrópica para ions próximos do monodominio como - prevê a equação(I).

Para ions longe desta fonte de deslocação, o campo deve ter um com - portamento diferente de (I).

(I) 
$$\bar{v}_i = \frac{A}{r^3} | \{ B(3 \cos^2 \theta - 1)\hat{r} - \cos \theta \sin \theta r \hat{\theta} \} + \frac{\hat{r}}{3} |$$

Ou seja Ū se reduz a um campo produzido por um defeito esférico, para distâncias longas do monodomínio da forma:

(11) 
$$\overline{U}_j = \frac{A}{r^3} \hat{r} + B\hat{r}$$
  $\cos B = 0$ 

Portanto, o campo ao redor do monodomínio ordenado deve ter uma de pendência com 0 e r (I), produzindo nos íons Mn 2+ próximos contração unia xial, provocando o shift em energia como explicado anteriormente e consequente
quebra de simetria ao ceu redor.

Porém, as interações de curto alcance produzem na 2. fase um campo de deslocação com simetria radial (II), submetendo os ions magnéticos nesse es paço a uma contração isotrópica, resultante da soma de cada dos campos gerado por cada monodomínio.

A contribuição para a luminescência deve surgir do conjunto de íons  ${\rm Mn}^{2+}\,$  no volume, tanto no monodomínio como fora.

Embora a densidade de Mn 2+ seja maior nos clusters, estes predominam em quantidade na interfase possuindo maior peso no mecanismo de emissão.

Ocorre contração isotrópica na média com quebra de simetria local ao redor do monodomínio elevando muito pouco a intensidade de transição.

O acréscimo na intensidade de transição com a queda da temperatura tem sido explicado (8) pelo favorecimento de probabilidade das transições radiativas, quando há enfraquecimento das não radiativas nesta região (30°K).

O shift é explicado pela contração produzida pelo ordenamento de curto alcance, alterando o parâmetro de campo cristalino, de maneira similar ao primeiro caso a 3<sup>0</sup>K.

Este trabalho resultou num modêlo para o vidro, que explica todo comportamento magnético e óptico, com resultados novos.

A luminescência produziu valiosa informação para a construção - deste modelo, o qual explica as deformações na rede com base no mono domínio magnético.

 Outras experiências podem contribuir com grande intensidade assim como a luminescência nas propriedades de volume, como Espectroscopia Fotoacústica e Elipsometria.

A pressão uniaxial e a hidrostática podem simular contração anisotrópica e isotrópica respectivamente, no intuito de reproduzir na luminescência, Espectroscopia Fotoacústica, etc, as alterações medidas com auxílio da baixa temperatura.

Na luminescência, o shift e a quebra da regra de seleção no caso de pressão uniaxial, ou somente o primeiro na contração isotrôpi -

Um novo campo está aberto para os vidros magnéticos.

Splitting dos níveis do "one eletron" em diferentes simetrias.

	. 1	χ(Ε)	χ(Ç <sub>2</sub> )	$\chi(C_3)$	$\chi(C_4)$	
5	0	1.	1	1	1	A <sub>10</sub>
P	1	3	1	0	1	T <sub>1#</sub>
d	2	5	1	-1	<b>← i</b>	$E_t + T_{2t}$
f	. 3	7	-1	1	-1	$A_{2n} = T_{1n} + T_{2n}$
g	4	. 9	1	0	1	$A_{1g} + E_{g} + T_{1g} + T_{2g}$
h	5	11	-1	<b>-1</b>	1	$E_{\pi} + 2T_{1\pi} + T_{2n}$
i	. 6	13	1	1	-1	$A_{1q} + A_{2g} + E_g + T_{1g} + 2T_{7g}$

	0,	<i>T.</i>	D44	$D_3$	$D_{14}$
s p d f g h	$a_{1g}$ $t_{1u}$ $e_{g} + t_{2g}$ $a_{2u} + t_{1u} + t_{2u}$ $a_{1g} + e_{g} + t_{1g} + t_{2g}$ $e_{u} + 2t_{1u} + t_{2u}$ $a_{1g} + a_{2u} + e_{g} + t_{1g} + 2t_{2g}$	$a_{1}$ $t_{2}$ $e + t_{2}$ $a_{2} + t_{1} + t_{2}$ $a_{1} + e + t_{1} + t_{2}$ $e + t_{1} + 2t_{2}$ $a_{1} + a_{2} + e + t_{1} + 2t_{2}$	$a_{1e}$ $a_{2e} + e_{e}$ $a_{1e} + b_{1e} + b_{2e} + e_{e}$ $a_{2e} + b_{1e} + b_{2e} + 2c_{e}$ $2a_{1e} + a_{2e} + b_{1e} + b_{2e} + 2c_{e}$ $a_{1e} + 2a_{2e} + b_{1e} + b_{2e} + 3e_{e}$ $2a_{1e} + a_{1e} + 2b'_{1e} + 2b_{1e} + 3c_{e}$	$a_{1}$ $a_{1} + e$ $a_{1} + 2e$ $v_{1} + 2a_{2} + 2e$ $2a_{1} + a_{2} + 3e$ $a_{1} + 2a_{1} + 4e$ $3a_{1} + 2a_{2} + 4e$	$a_1$ $b_2 + e$ $a_1 + b_1 + b_2 + e$ $a_1 + a_2 + b_2 + 2e$ $2a_1 + a_2 + b_1 + b_2 + 2e$ $a_1 + a_2 + b_1 + 2b_2 + 3e$ $2a_1 + a_2 + 2b_1 + 2b_2 + 3e$
	· · · · · · · · · · · · · · · · · · ·				

Tabela de Caracteres

0	_   _ E	6 <i>C</i> .	3 <i>C</i> <sub>2</sub>	$(=C_4^2$	2) 8 <i>C</i> <sub>3</sub>	6C2 ·	ļ					<u> </u>
A A: E		- 1 - 0		1 1 2	1 1 -1	-1 0					$x^{2} + y^{2} + 2$ $(2z^{2} - x^{2} - x^{2} - x^{2})$	
$T_1$ $T_2$		1 -1 8C	6C,	-1 -1 6C4	$0 \\ 0 \\ 3C_2 (= 0)$	$-\frac{1}{1}$	Ι.	$R_y$ , $R_z$			x* — y*)   (xy, xz, yz) 	
A; A; E,	e 1	1 1 -1	 1 1 0	-1 -1	1 1 2		1 -	1 1 1 1 01	1 1 2	-1 -1 0		$x^{2} + y^{2} + z^{2}$ $(2z^{2} - x^{2} - y^{2},$
$T_1$ $T_2$ $A_1$	3 3 1	0 0 1	-1 1 1	-1 -1 1	1 1 1		3 3	1 0 1 0 1 -1	1 1 1	-1 1 -1	$(R_x, R_y, R_z)$	(xz, yz, xy)
A; E; T;	2 3	-1 -1 0	-1 0 -1	-1 0 1 -1	1 2 - I - I		- I - 2` - 3   — - 3	I — I 0 I 1 0	-1 -2 1	0	(x, y, z)	

- (1) Menezes E.A. Tese de Doutorado IFGW UNICAMP
- (2) W.H.Turner and J.E.Turner, J.Am.Cer.Soc. 53, 6, 329(1970)
- (3) S.H.Linwood and W.A.Weyl, J.Opt.Soc.Am. 32, 443(1942)
- (4) Chemical Applications of Group Theory, Cotton 2nd Edition
- (5) Phisique des bases temperatures-Ed by C.Dewitt, B.Dreyfus and P.G. de Gennes N.Y. 1962
- (6) P.C.Schultz, J.Am.Cer.Soc. <u>57</u>, 7, 309(1974)
- (7) W.W.Holloway, Jr and M.Kestigian, Phys.Rev.Let. 13, 7(1964)
- (8) W.W.Holloway, Jr and M.Kestigian, R.Newman and E.W.Proho Phys.Rev.Let. 11, 2(1963)
- (9) E.W.Profofsky, W.W.Holloway, Jr and M.Kestigian, J.Appl. Phys. 36, 1041(1945)
- (10) R.A. Vorkelst, R.W. Kline, A.M. de Graaf and H.O., Hooper,
  Magnetic Properties of COBALT and MANGANESE Aluminosilicate
  Glasses-submited to Physical Review
- (11) A.W.Simpson, Phys.Stat.Sol. 40, 207(1970)
- (12) E.J.Frieble and N.C.Koon, L.K. and D.L.Kinser, J.Am. Cer. Soc. 57, 6, 237(1974)
- (13) A.W.Simpson and J.M.Lucas, J.Appl.Phys. 42, 6, 2181(1971)
- (14) J.D.Jackson Classical Electrodynamics J.Wiley & Sons, Inc 1962
- (15) R. Hasegawa, Phys. Rev. B 3, 5, 1631(1971)
- (16) J.W.Stout, J.Chem.Phys. 31, 3, 709(1959)
- (17) S.Kobe and K.Handrich, Phys.Stat.Sol. 42, K69(1970)
- (18) K.E.Lawson, J.Chem.Phys. 44, 11, 4159(1966)
  - (19) D.S. McClude, J.Chem. Phys. 39, 11, 2850)1963)
  - (20) D.C.Fowlis and C.V.Stager, Can.J.Phys. 47, 371(1968)
  - (21) J.J.Rhine, S.J.Pickart, and H.A.Alperin, Phys.Rev.Let. 29, 23, 1562(1972)
  - (22) M.Balkanski, R.C.C.Leite, S.P.S.Porto, Light Scattering in Solids third International Conference, Campinas, BRASIL, 1975.
  - (23) L.Pal, T.Tarnockzi and G.Konczoz, Phys.Stat.Sol. 42, 49(1970)
  - (24) Advanced Inorganic Chemistry E.A.Cotton and G.Wilkinson
  - (25) Advanced Inorganic Chemistry F.A.Cotton and G.Wilkinson J.Wiley & Sons, Inc. NY 1962.
  - (26) K.Narita, J.Phys.Soc.Jap. <u>16</u>, 1, 99(1961)
  - (27) C.C.Klick and J.H.Schulman, J.Opt.Soc.Am. 42, 12, 910(1952)
  - (28) R.E.Trees, Phys.Rev. <u>83</u>, 4, 756(1951)

- (29) D.H.Martin, Magnetism in Solids-London ILLIFE books 1967.
- (30) Y.Tanabe and S.Sugano, J.Phys.Soc.Jap. 9, 5,766(1954)
- (31) Magnetic Properties of Rare Earth Metals Ed. by R.J.Elliott-Plenum Press. London and New York, 1972.
- (32) Luminescence of Inorganic Solids; ed. by P.Goldberg, NY Academic Press, 1966
- (33) Introduction to Solid State Physics, Third Edition, C.Kitel
- (34) Magnetism, Vol. 3 G.T. Rado and H.Suhl NY, Academic Press 1966
- (35) Magnetism and Metallurgy, A.E.Berkowitz and E.Kneller-NY Acadmic Press 1969
- (36) The Matematical Theory of Symmetry in Solids, C.J.Bradley and A.P.Cracknell-Clarendon Press-Oxford, 1972
- (37) A.T.Fiory and W.J.Kossler and L.H.Bieman, A.M. de Graaf-Spin Freezing in MnO.Al<sub>2</sub>O<sub>3</sub>.SiO<sub>2</sub> Glass-A Muon depolarization study private communication.
- (38) T.J.Moran, N.K.Batra, R.A.Verhelst and A.M. de Graaf-Sound V Velocity Anomalies in Cobalt and Manganese Aluminosilicate Glasses - Submitted to Physical Review.
- (39) W.P.Mason, Crystal Physics of Interaction Processes, Academic Press, NY 1966.
- (40) D.S.McClude, Electronic Spectra of Molecules and Ions in Crystal-Academic Press, NY 1959.
- (41) T.Bates, Moderns Aspects of the Vitreous State, Ed. by J. Mackenzie Washington.
- (42) C.Flynn, Points Defects and Difusion-Oxford, Clarendon, 1972